

Fig. 1

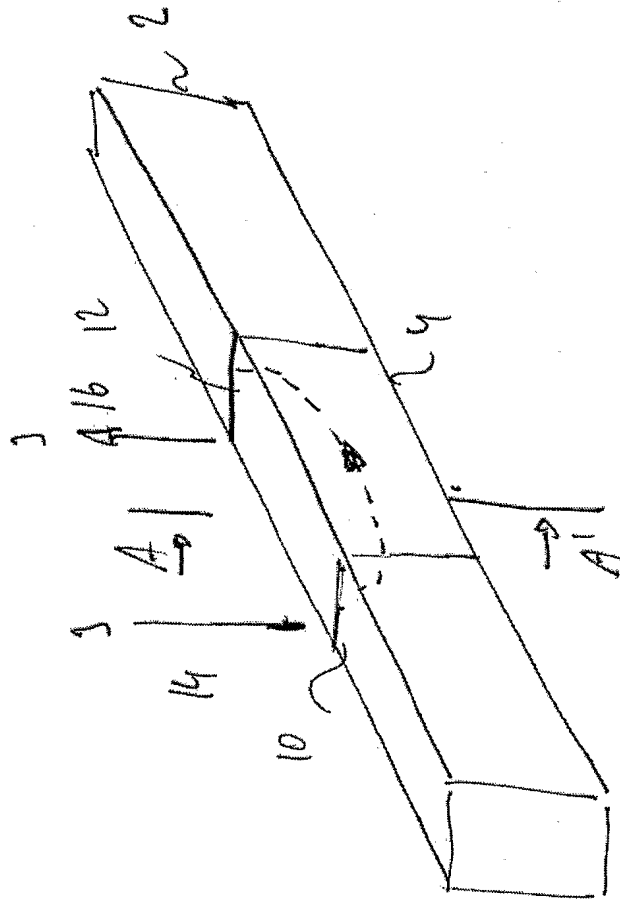


Fig. 2A

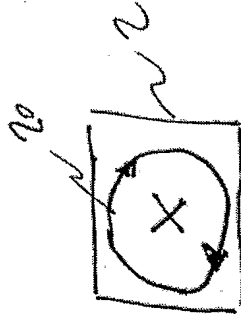


Fig. 2B

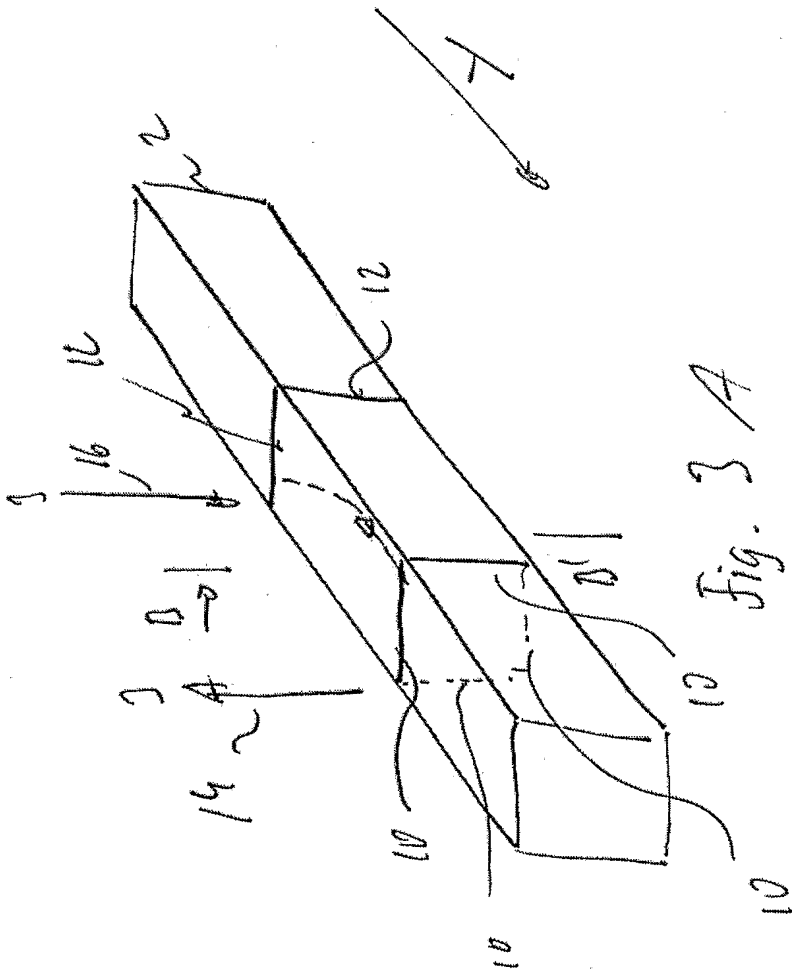


Fig. 3B

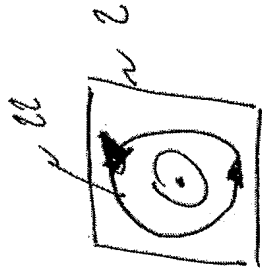


Fig. 3A

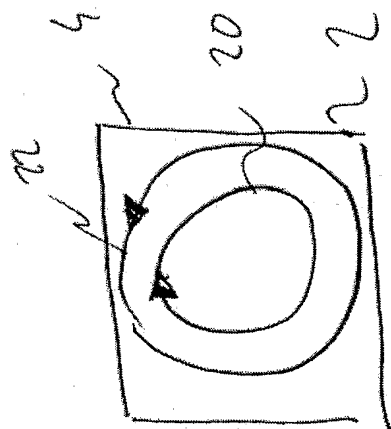
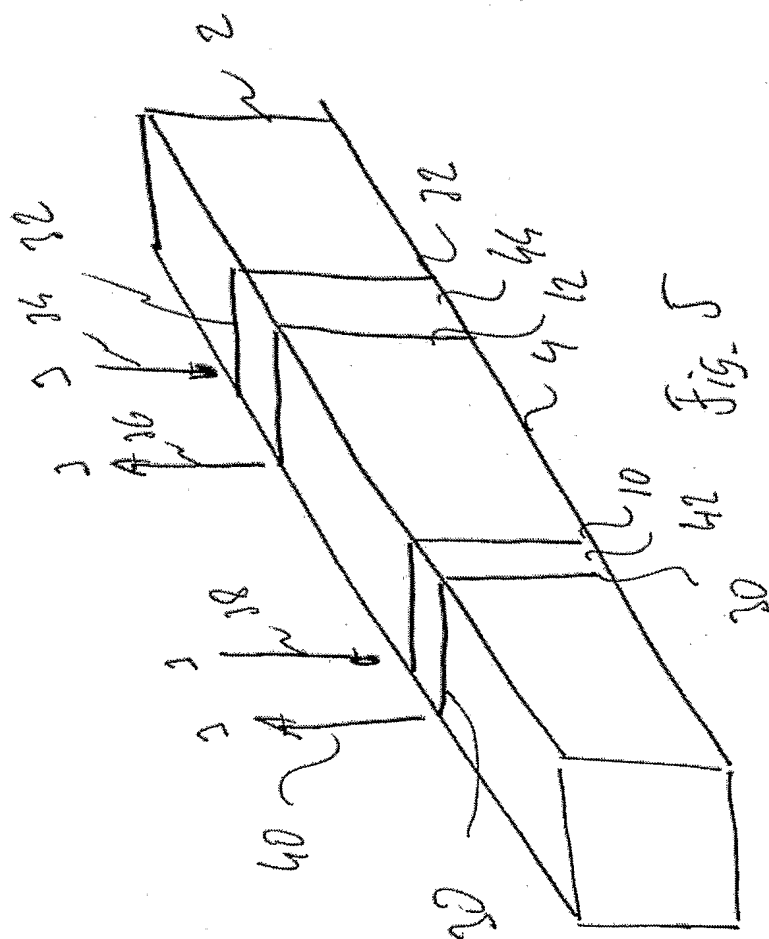


Fig. 4



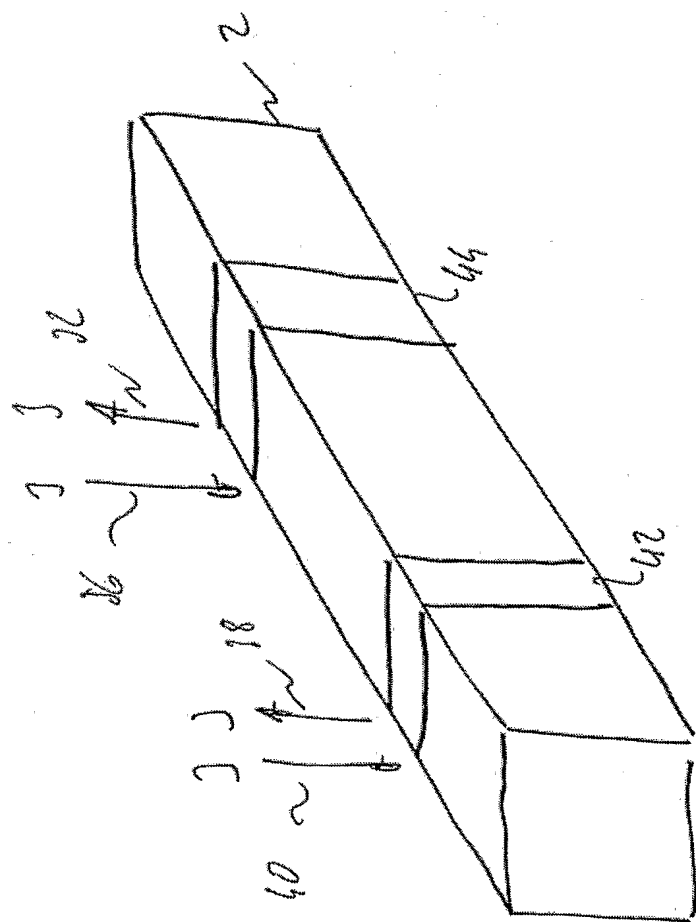


Fig. 6

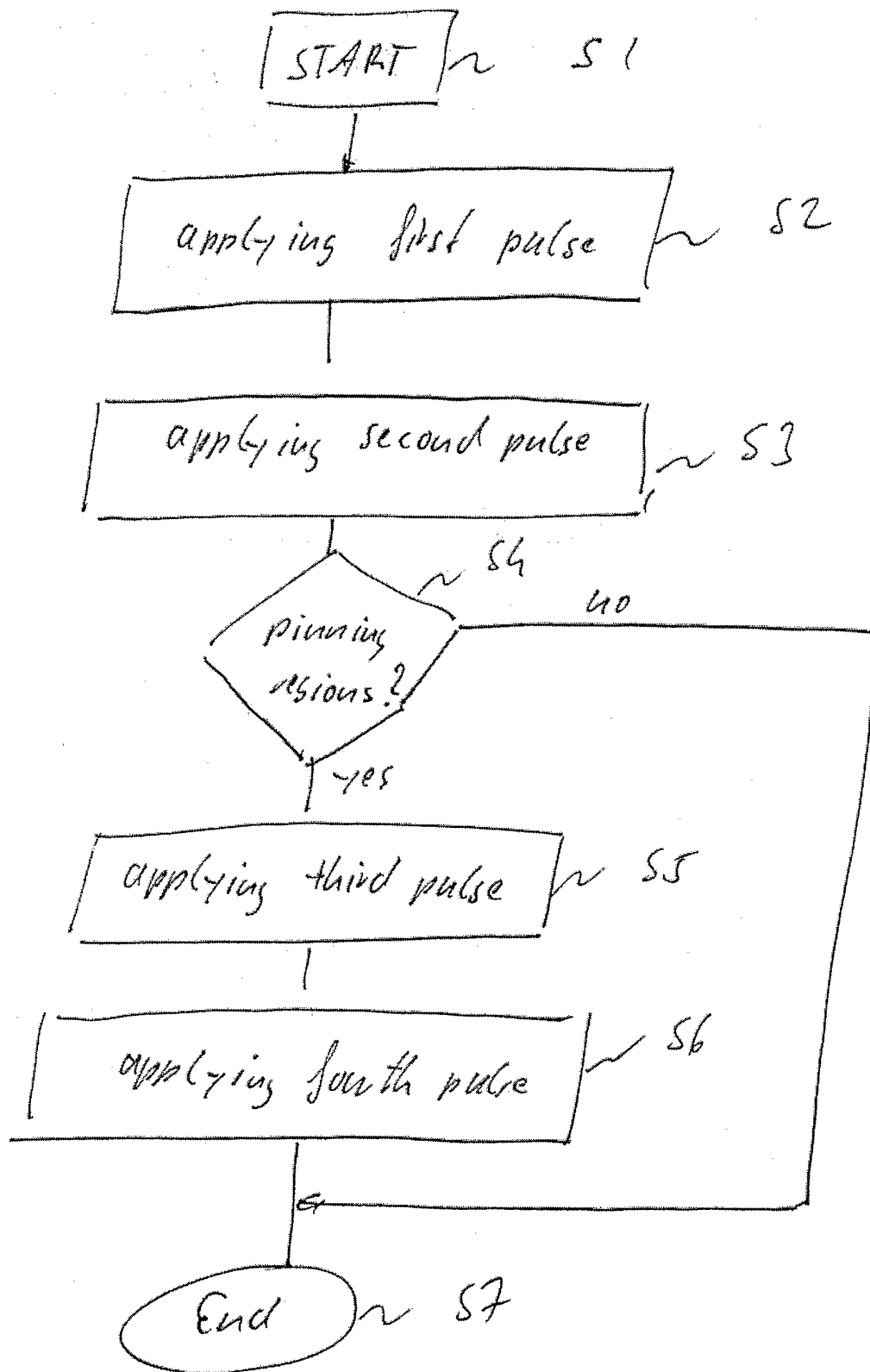


Fig. 7

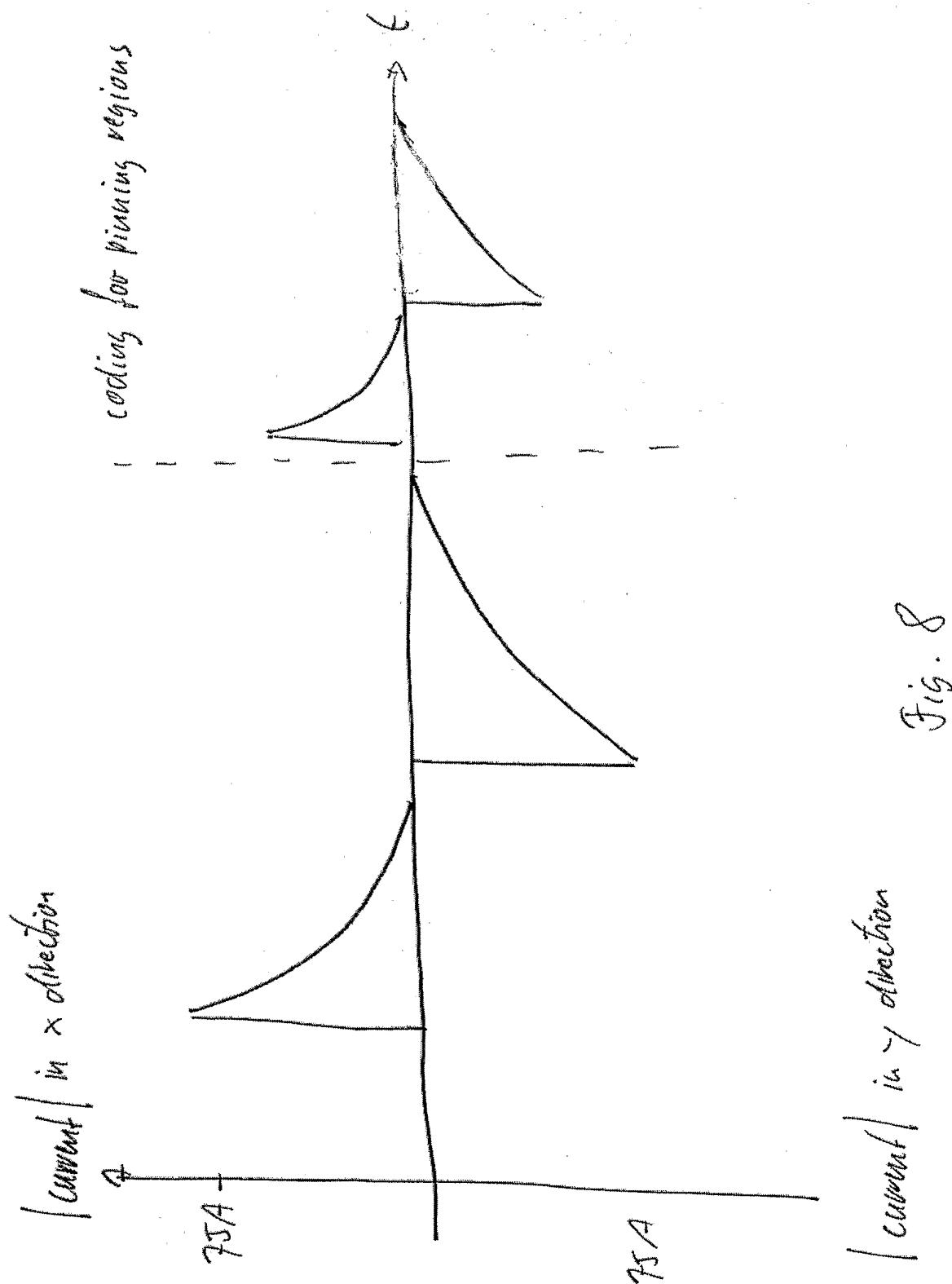


Fig. 8

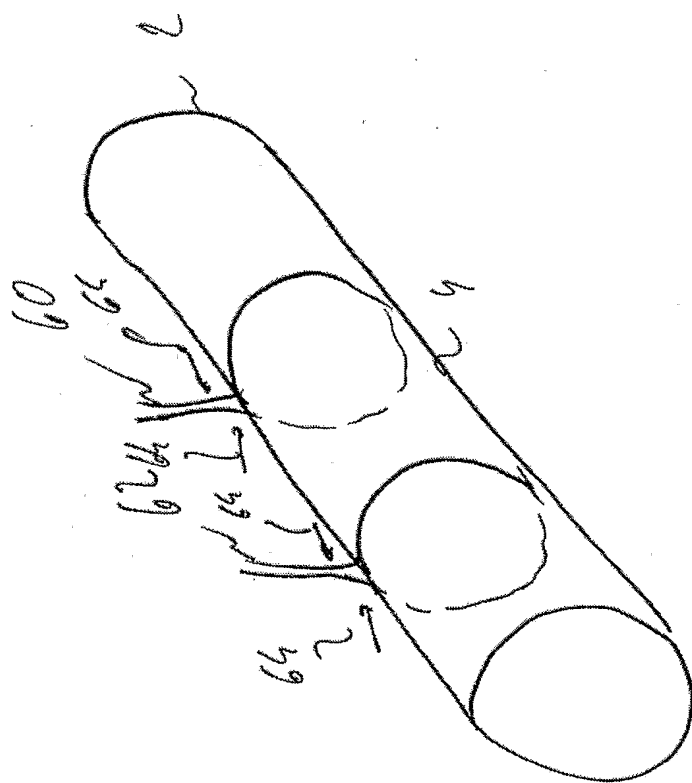


Fig. 9

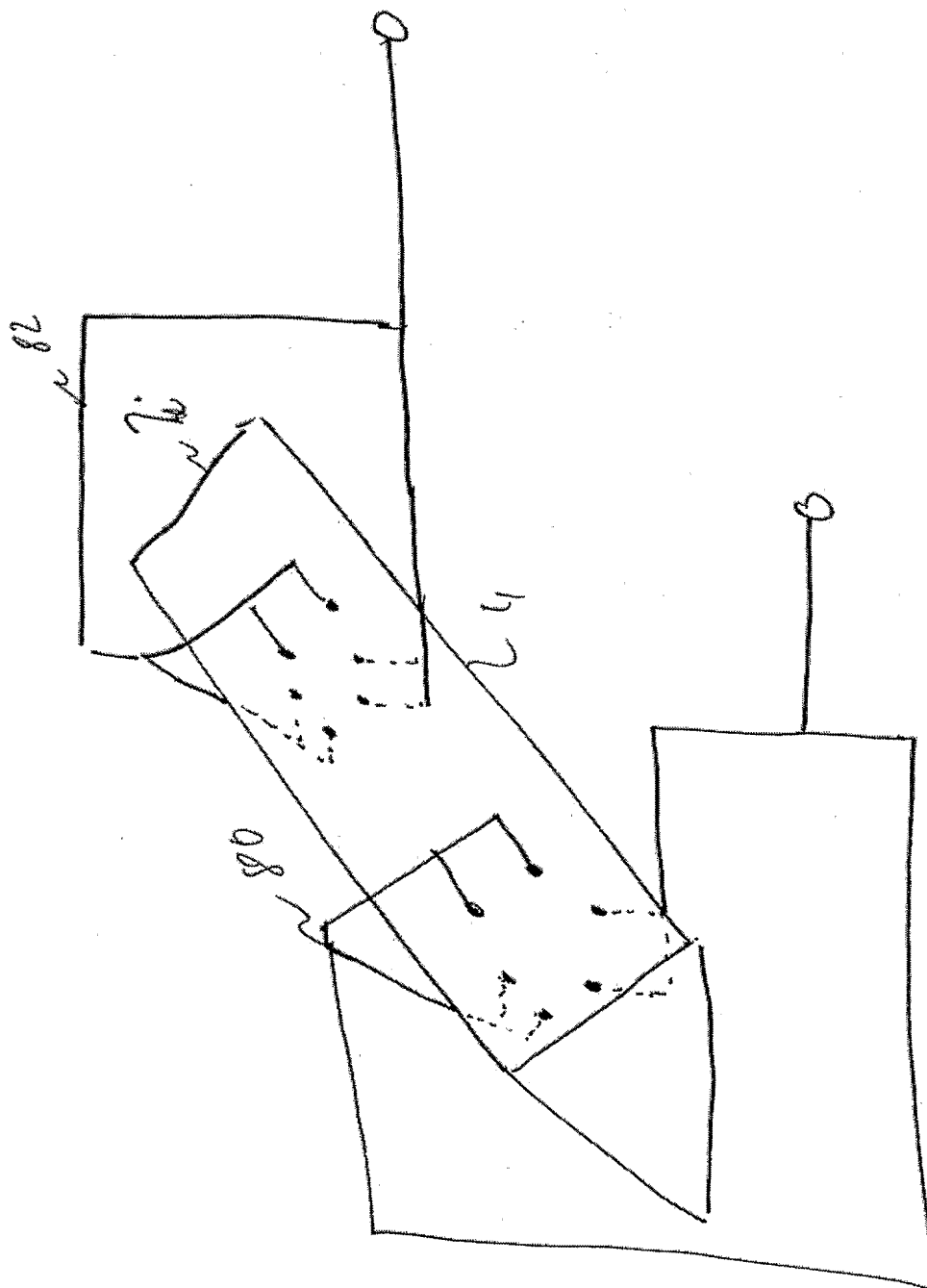


Fig. 10A

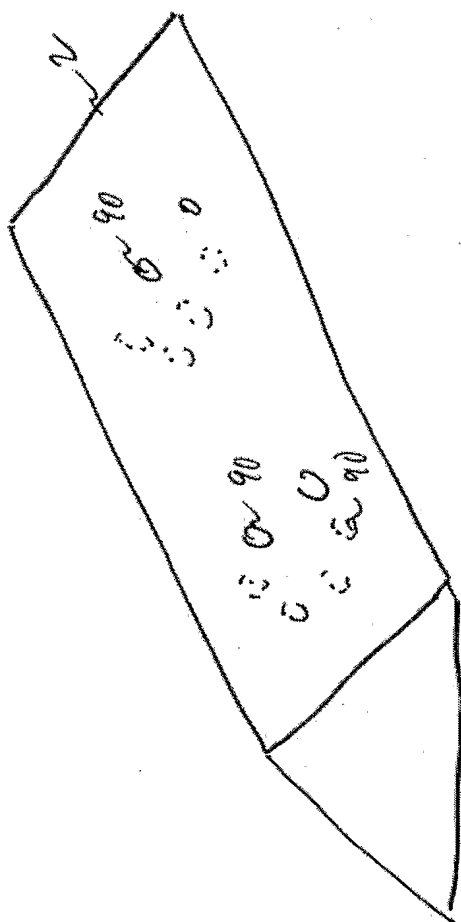


Fig. 10B

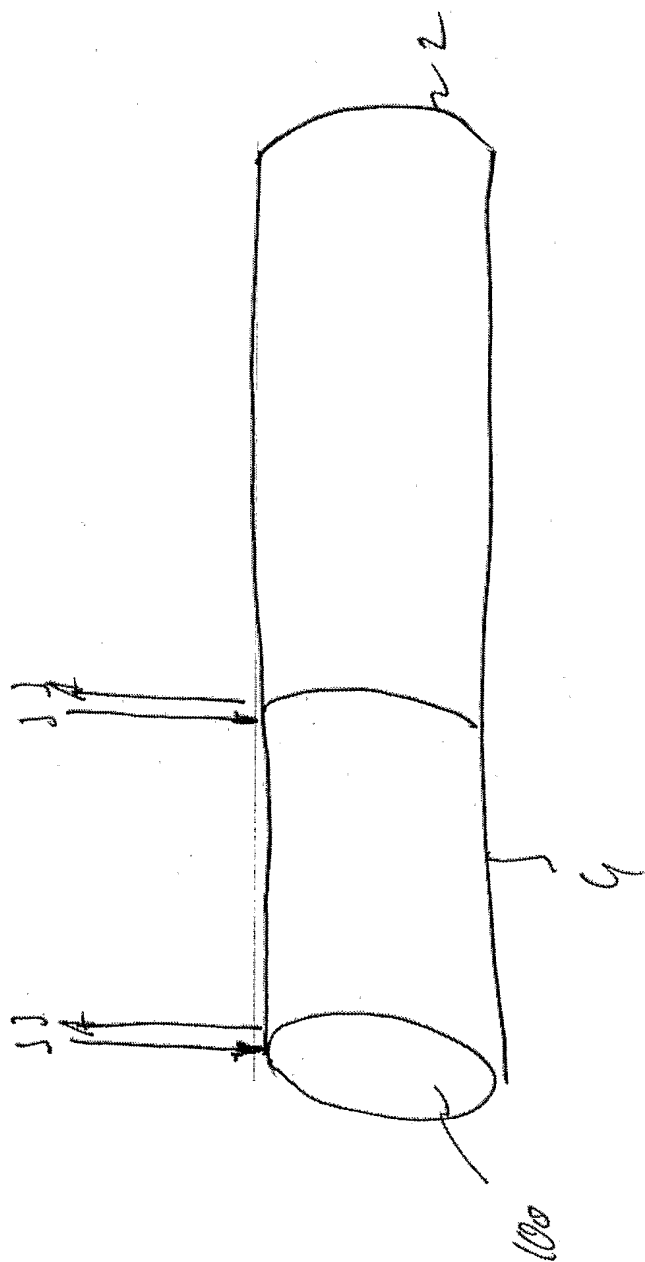


Fig. 11

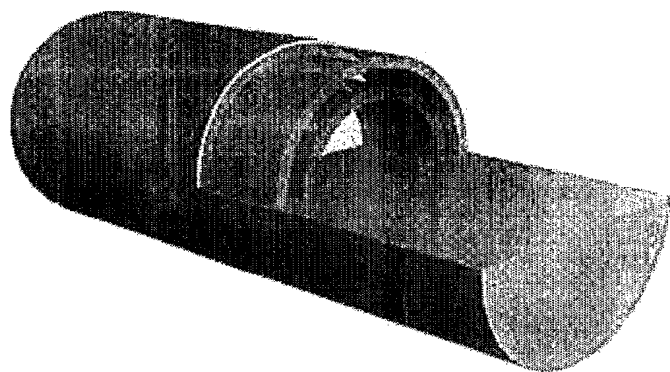


Fig. 12

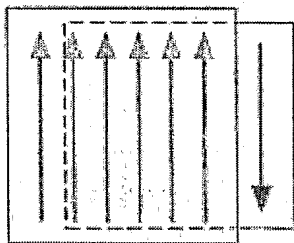
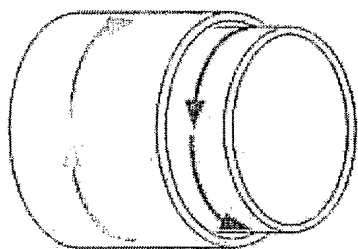


Fig. 13

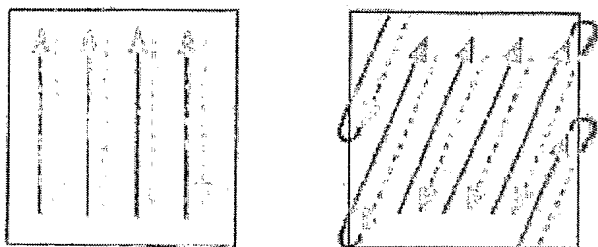


Fig. 14

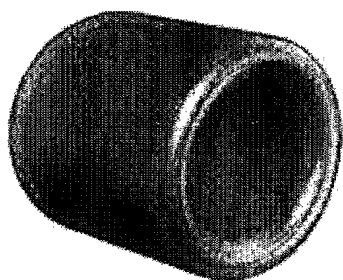


Fig. 15

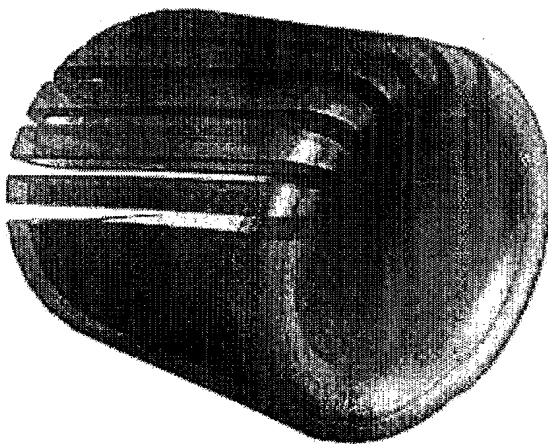


Fig. 16

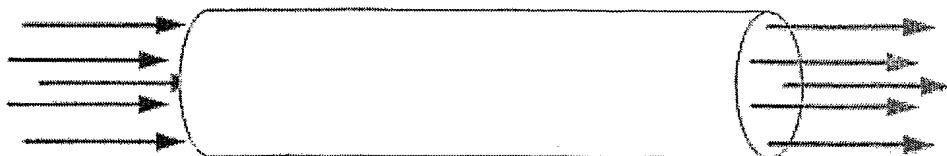


Fig. 17

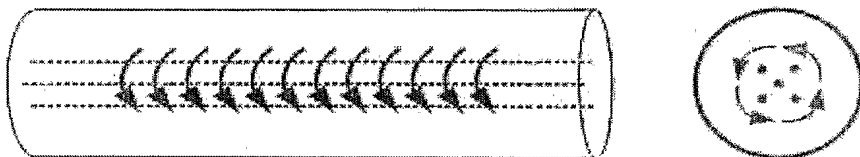


Fig. 18

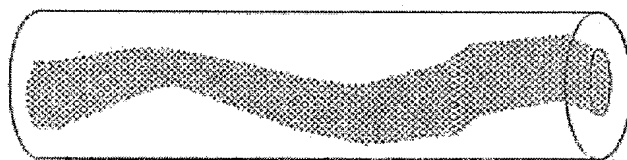


Fig. 19

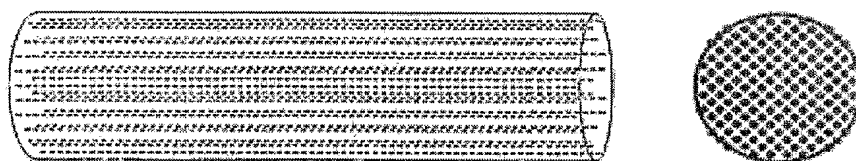


Fig. 20

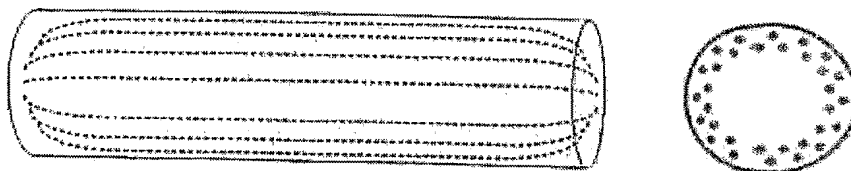


Fig. 21

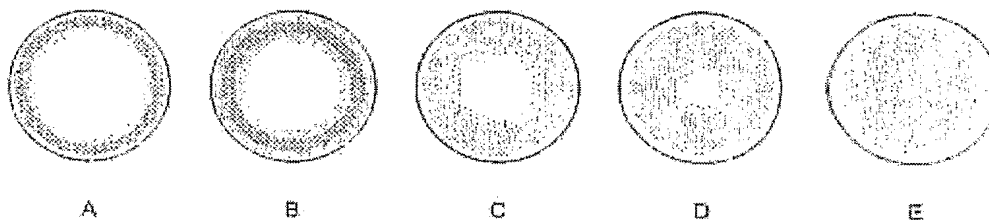


Fig. 22

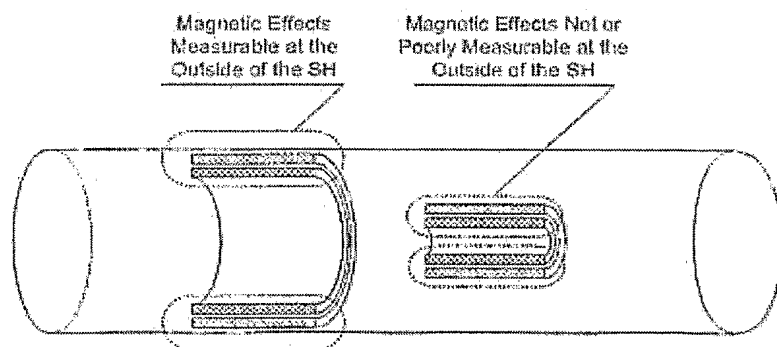


Fig. 23

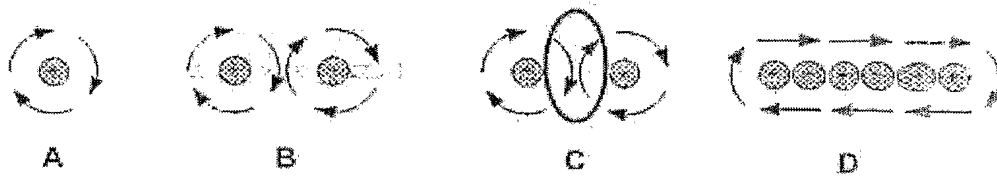


Fig 24

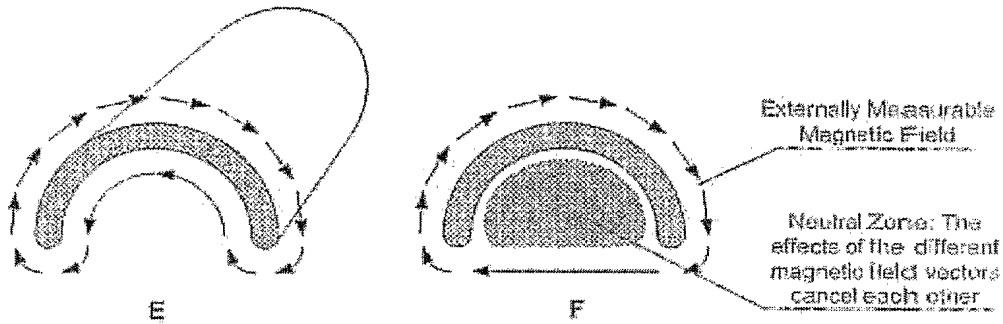


Fig. 25

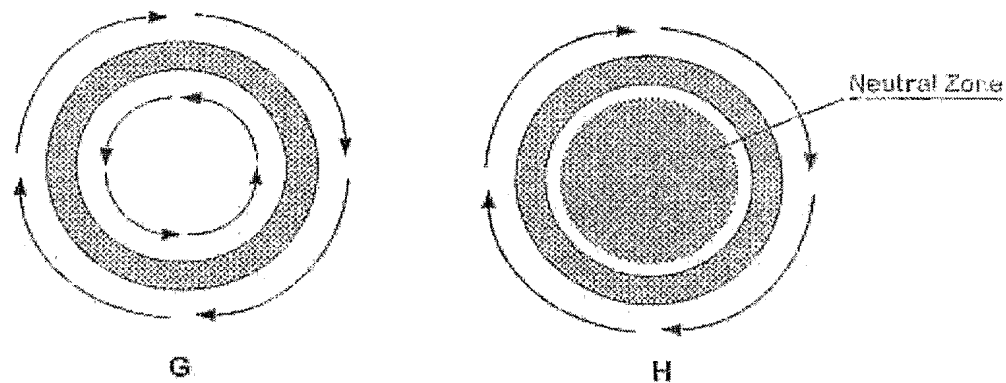


Fig 26

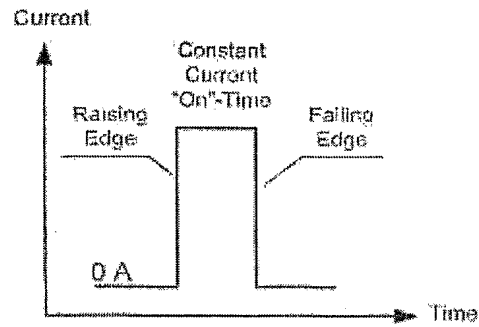


Fig. 27

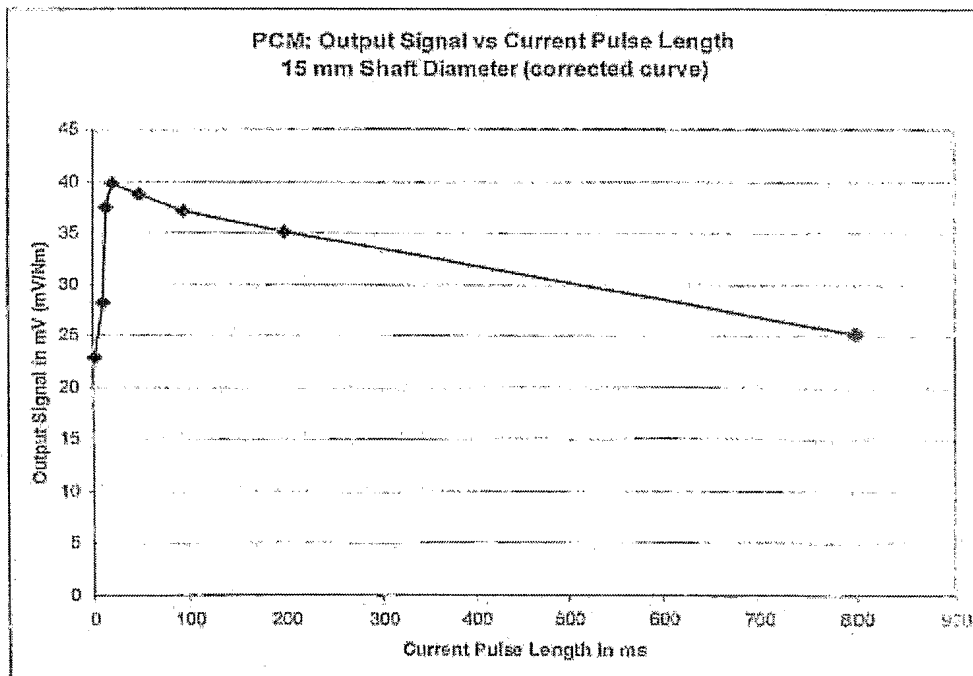
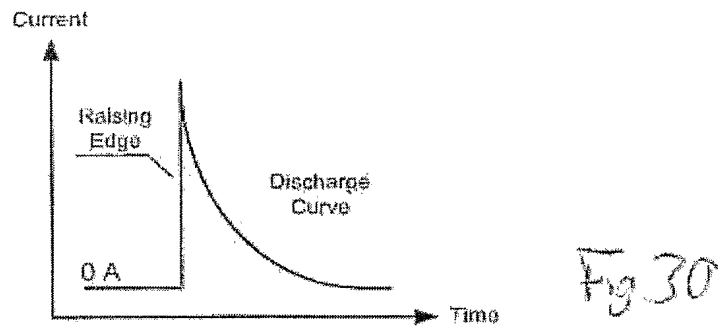
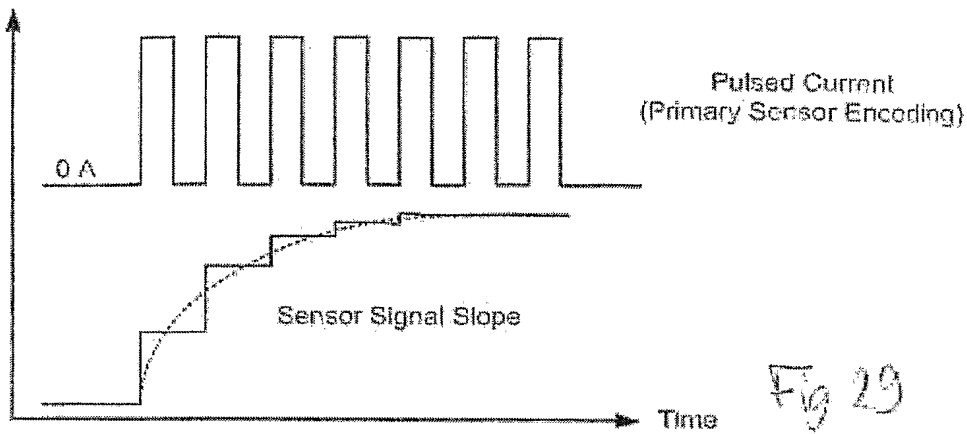
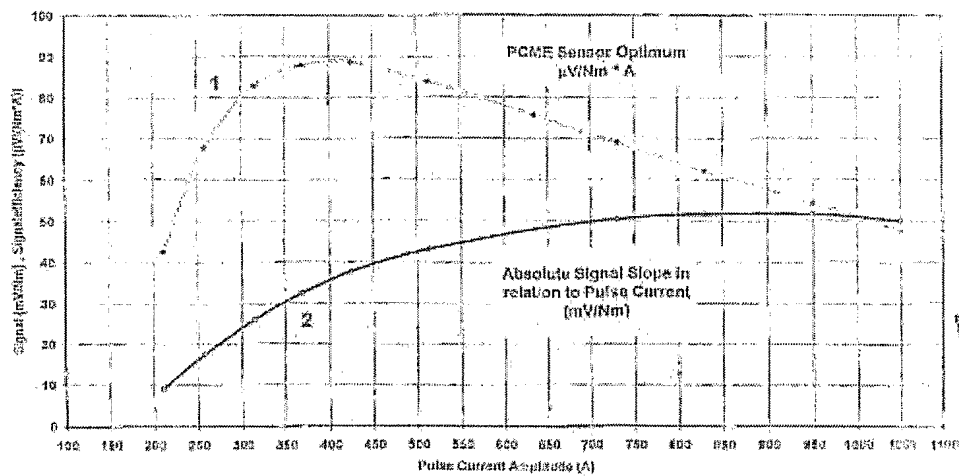


Fig. 28



Signal (mV/Nm) and Signal Efficiency ($\mu\text{V}/(\text{Nm} \cdot \text{A})$) vs Current at 15mm Shaft



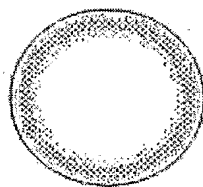


Fig. 32

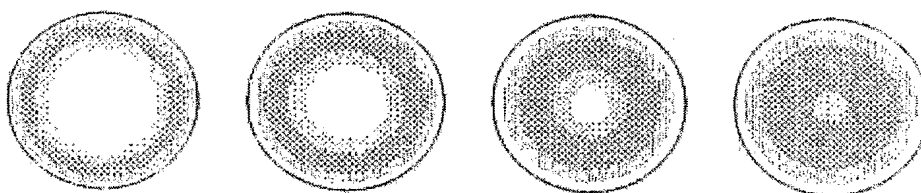


Fig. 33

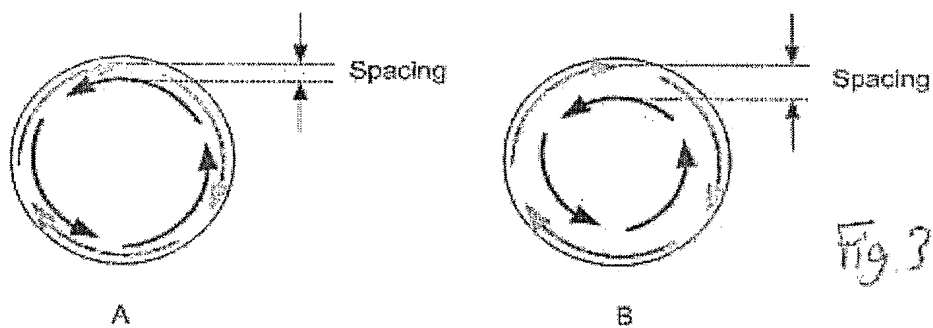


Fig. 34

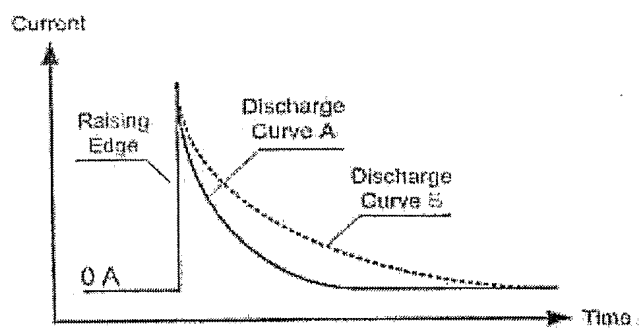
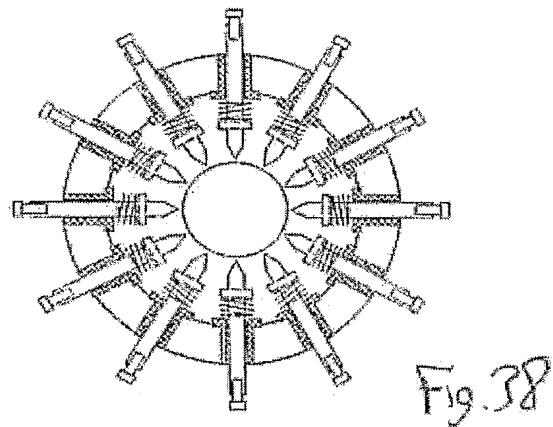
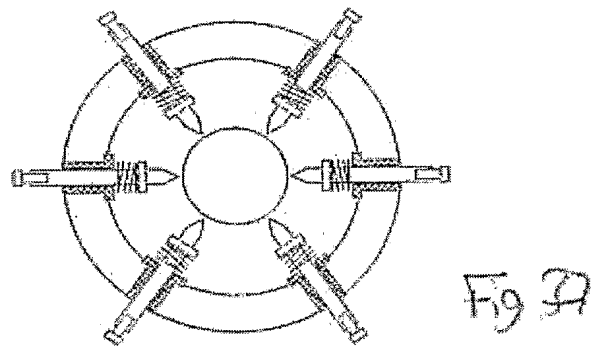
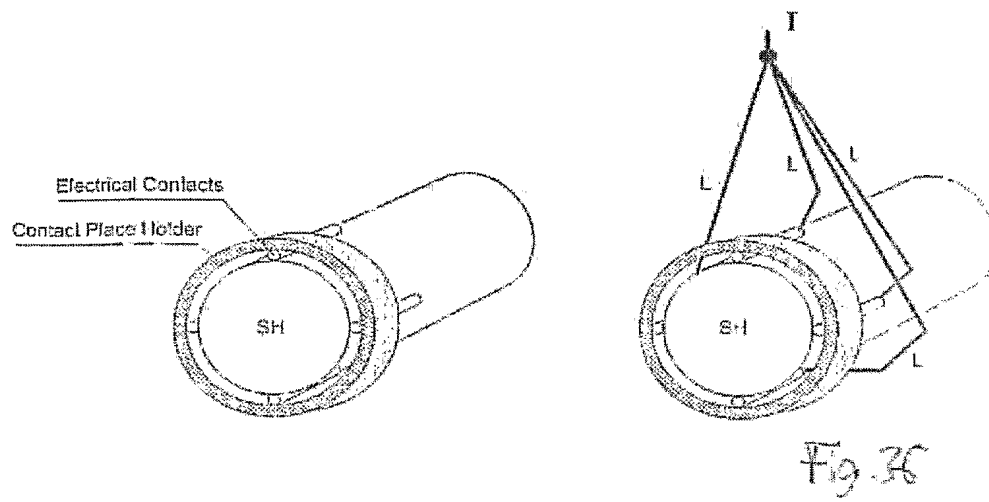


Fig. 35



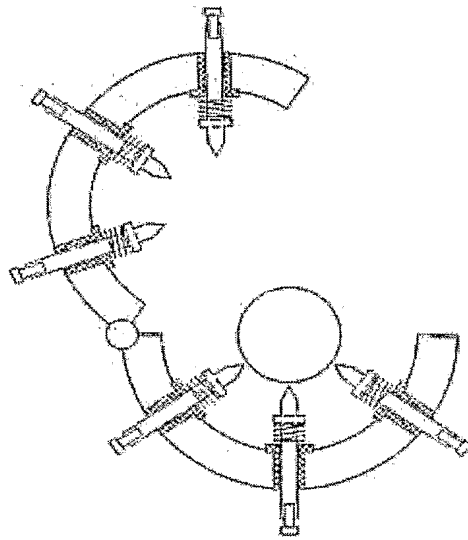


Fig. 39

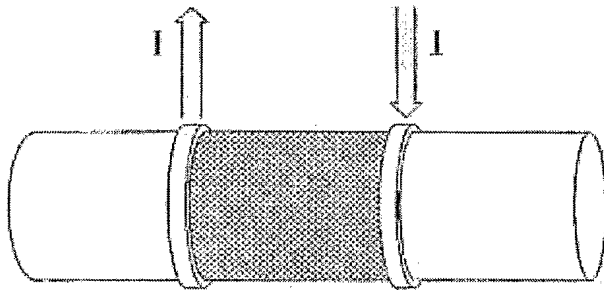


Fig. 40

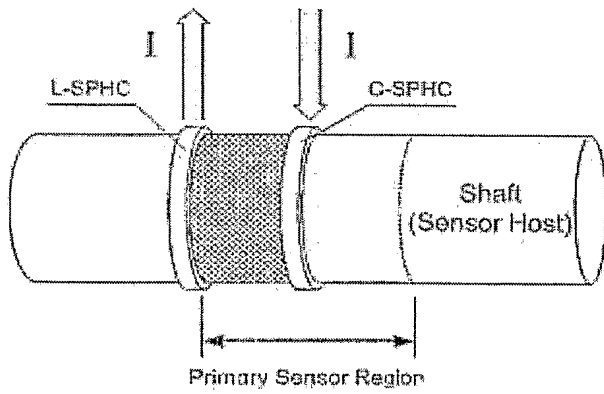


Fig. 41

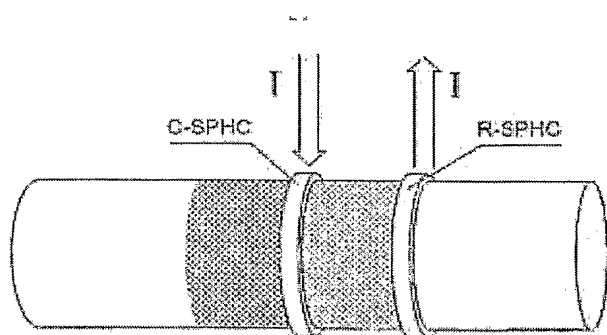


Fig. 42

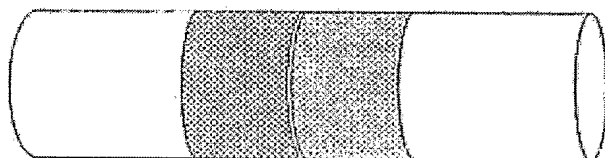


Fig. 43

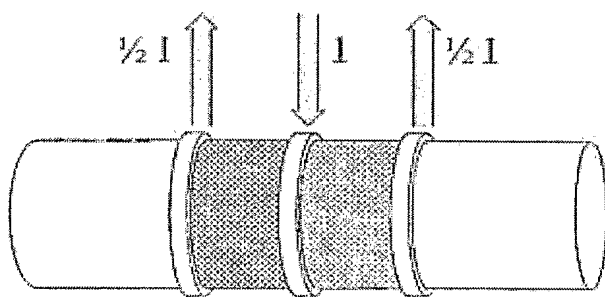


Fig. 44

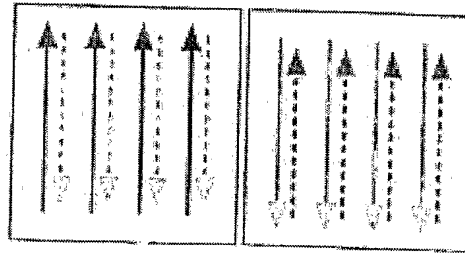


Fig. 45

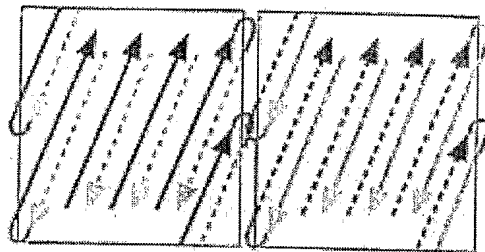


Fig. 46

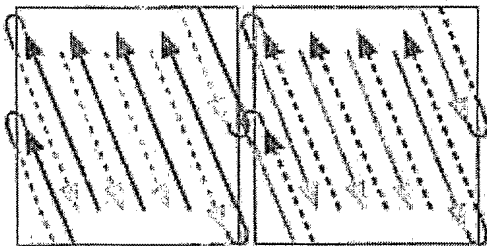
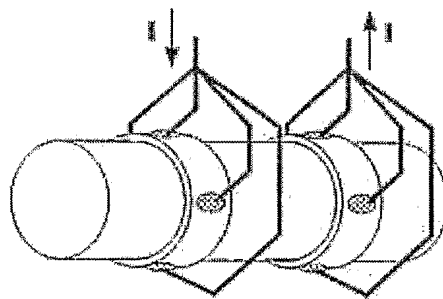
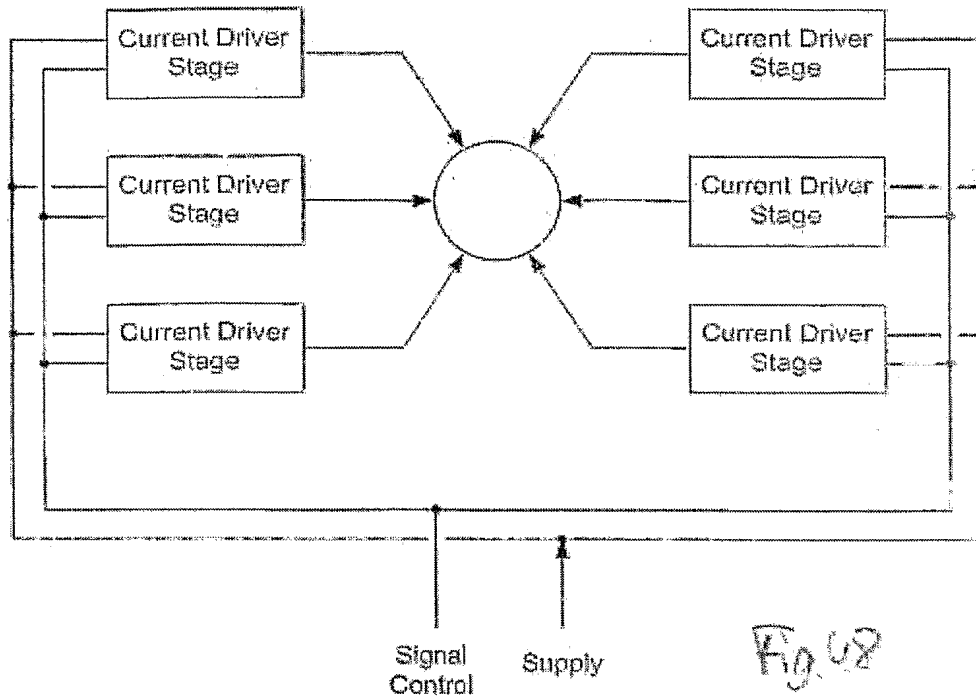
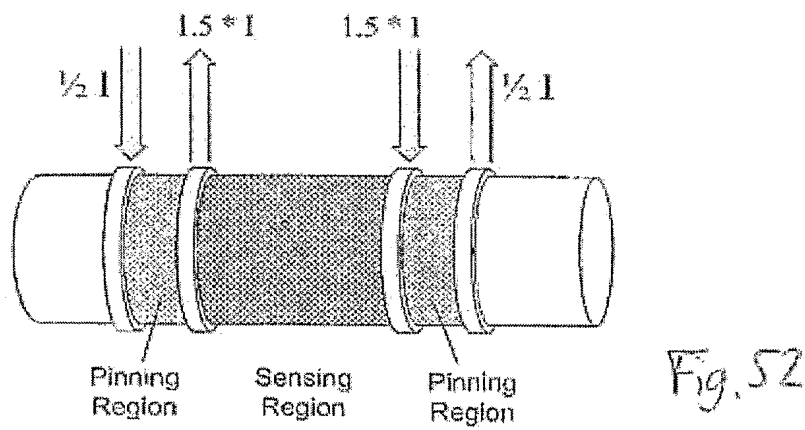
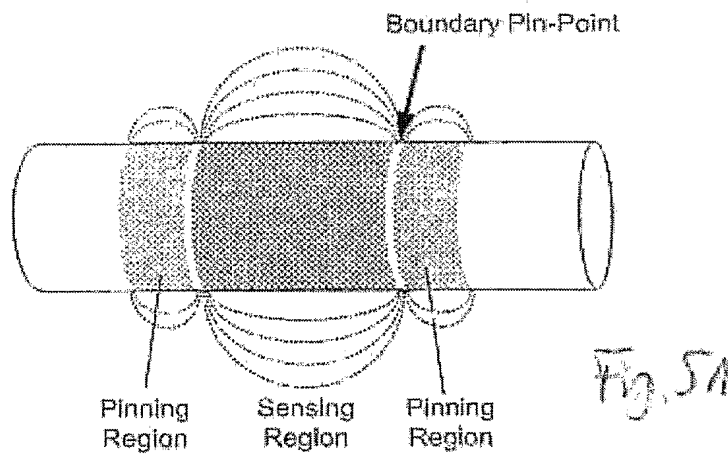
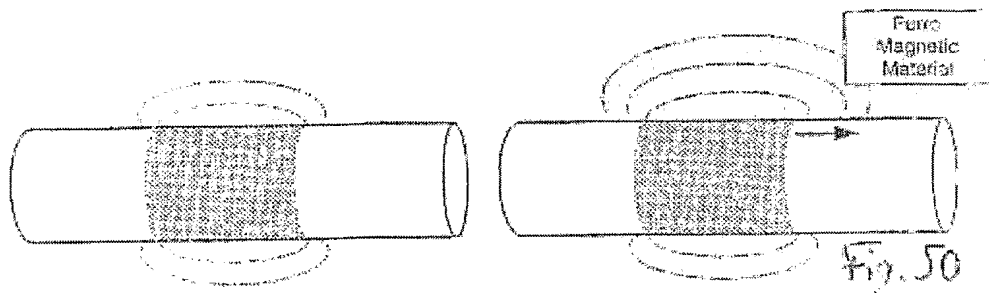


Fig. 47





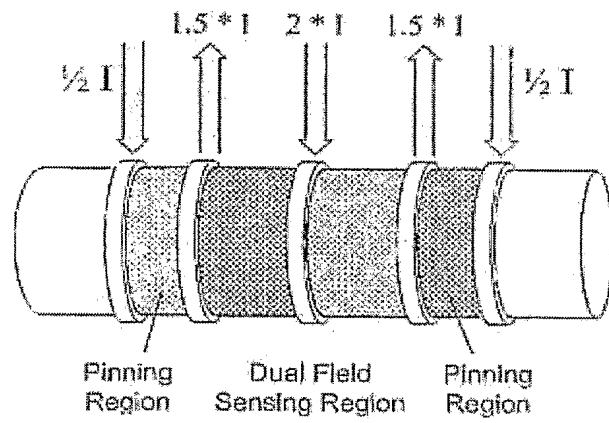


Fig. 53

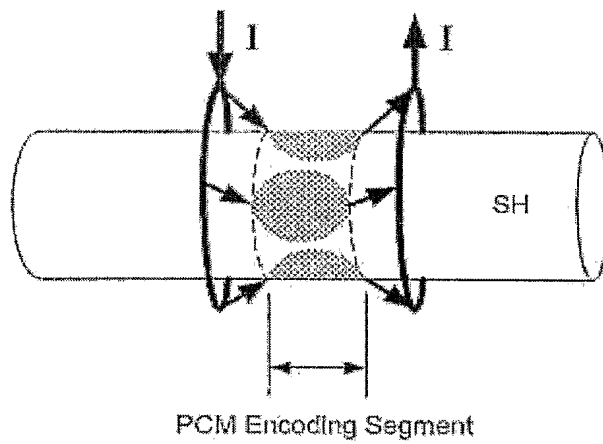


Fig. 54

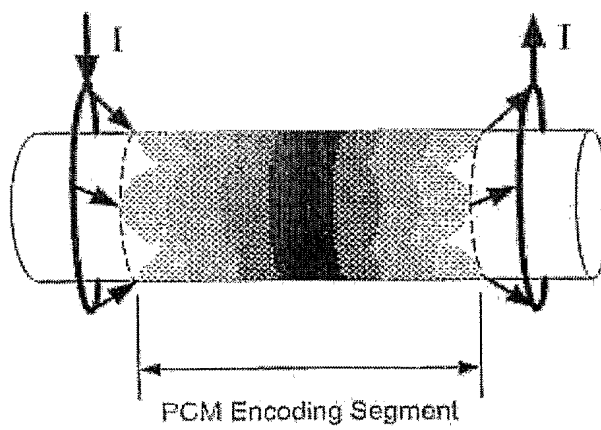


Fig. 55

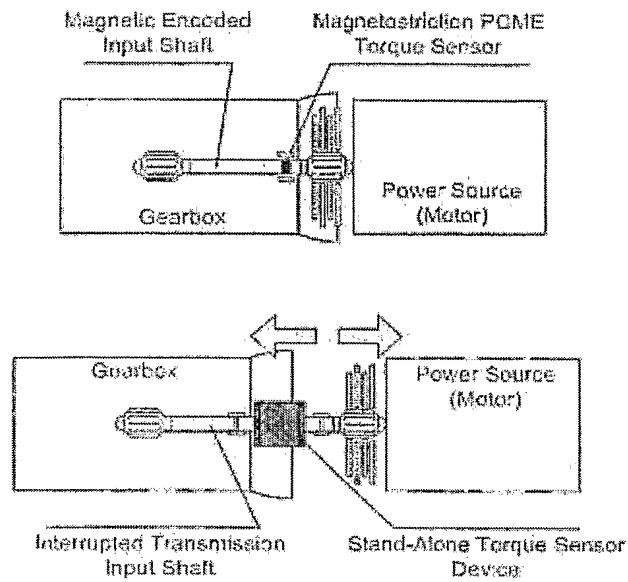


Fig. 56

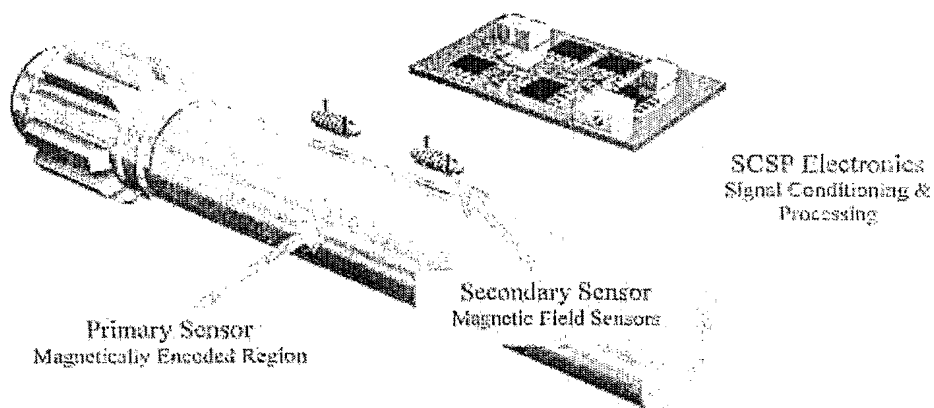


Fig. 57

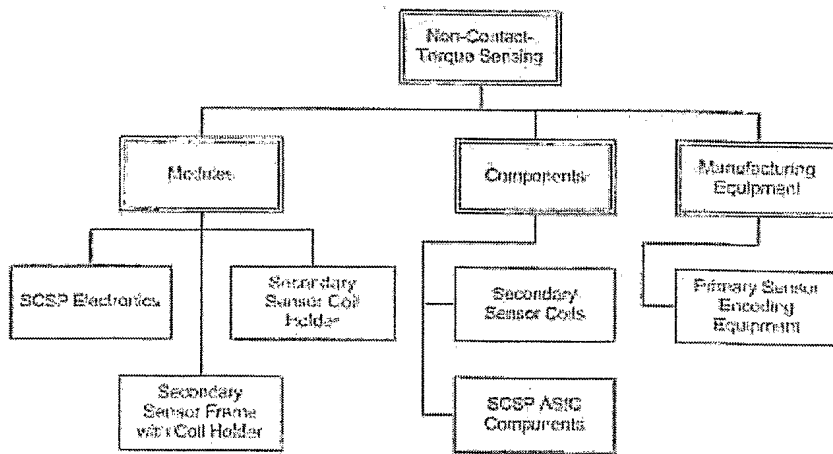


Fig. 58

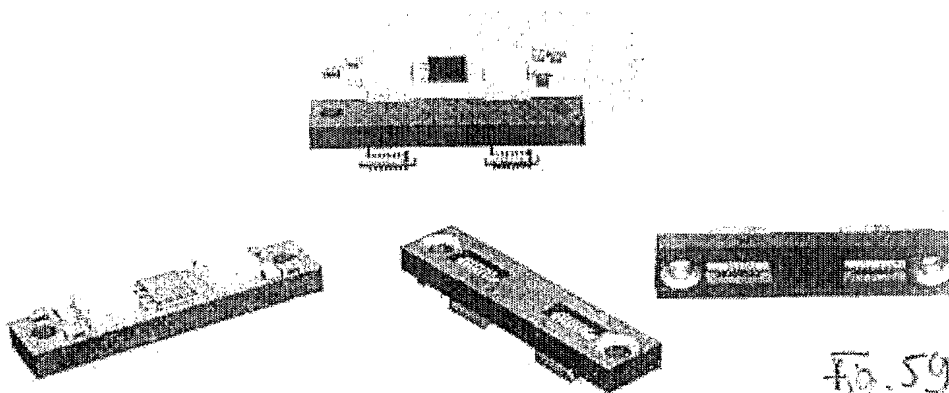


Fig. 59

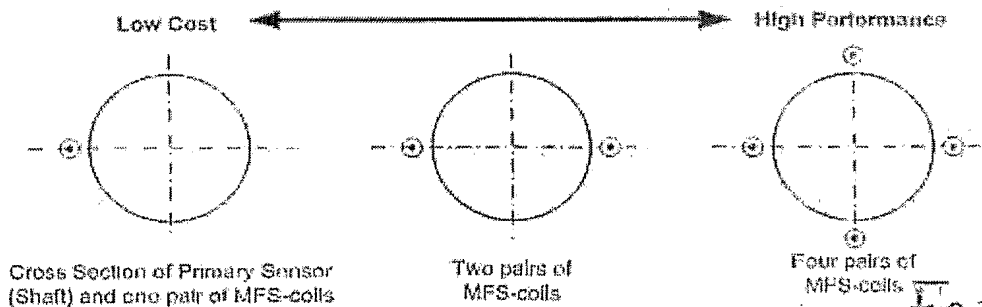


Fig. 60

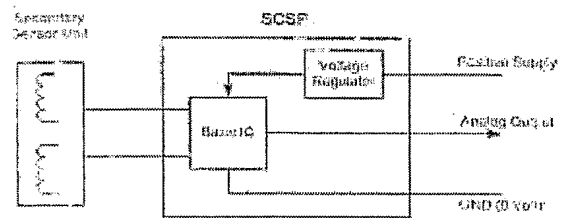


Fig. 61

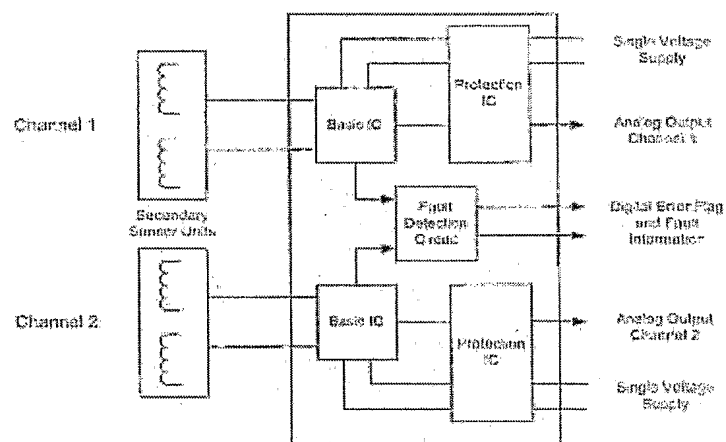


Fig. 62

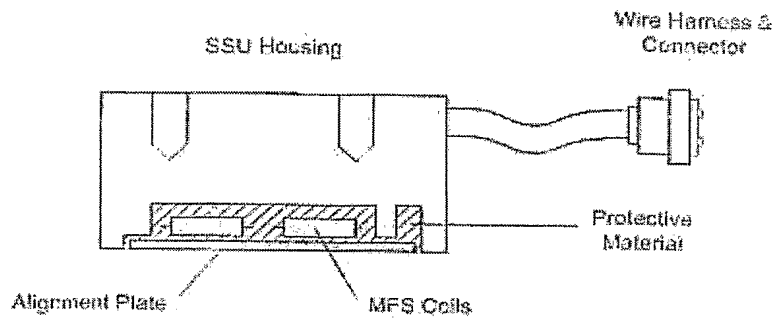


Fig. 63

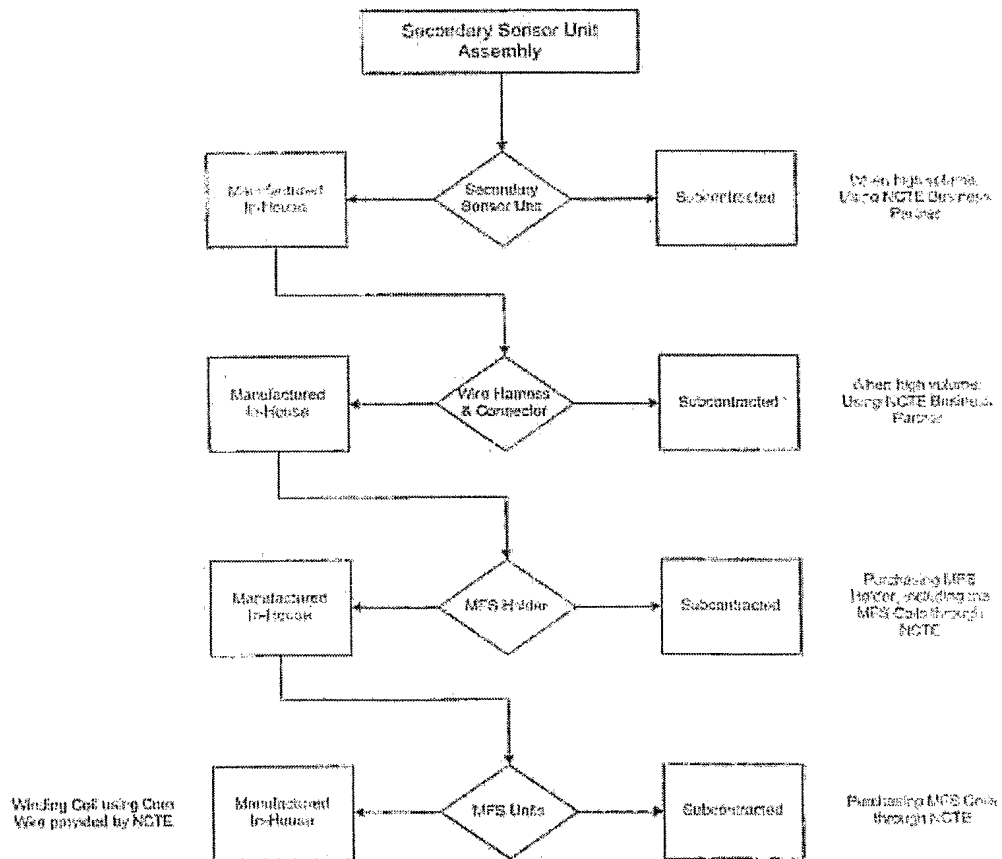


Fig. 64

Secondary Sensor
Magnetic Field Sensors

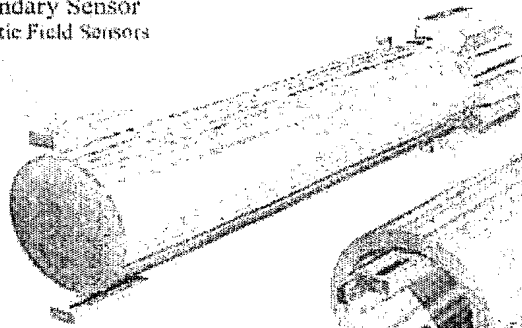


Fig. 65

Primary Sensor
Magnetically Encoded Region

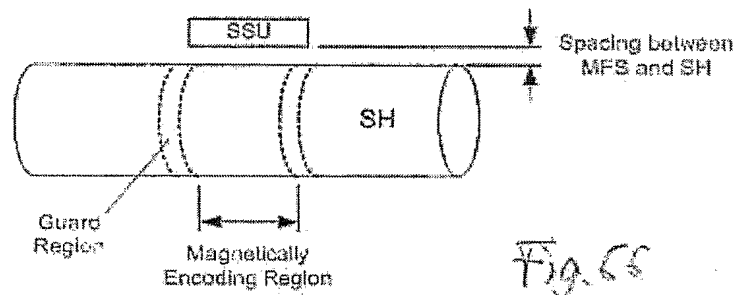
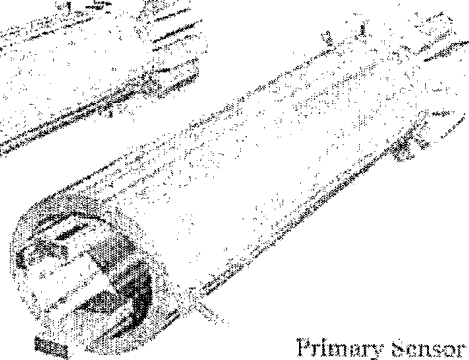


Fig. 66

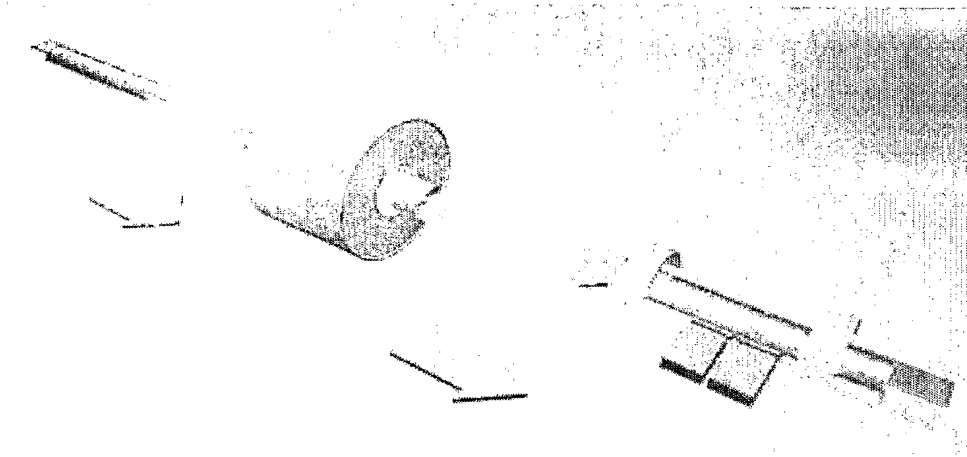
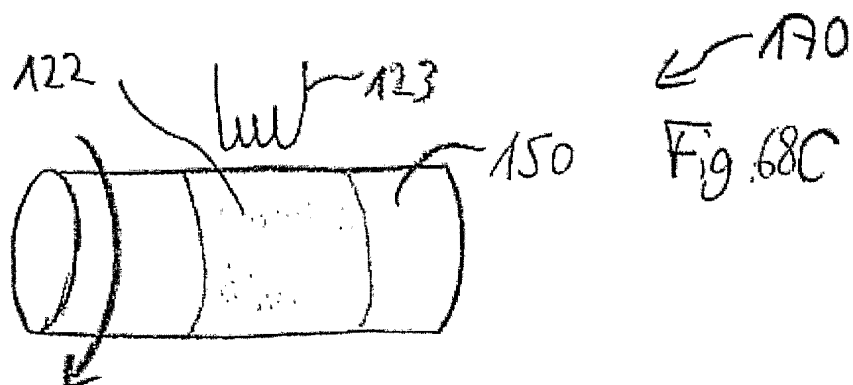
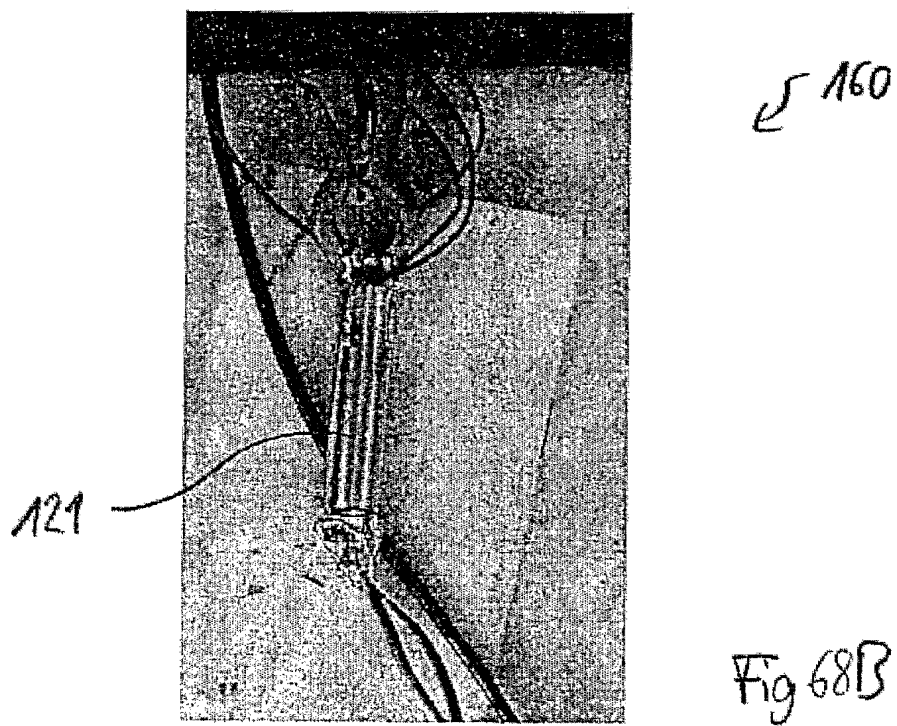
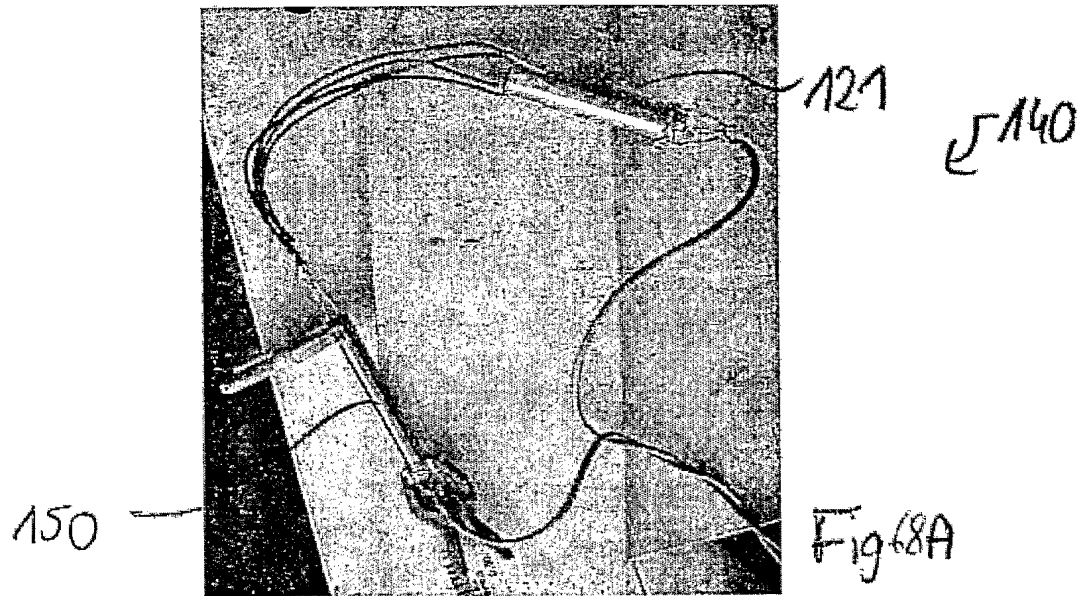
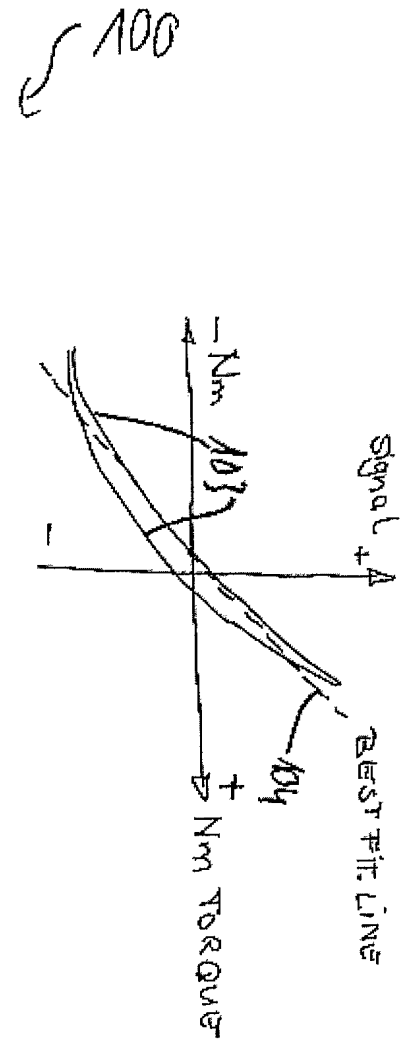


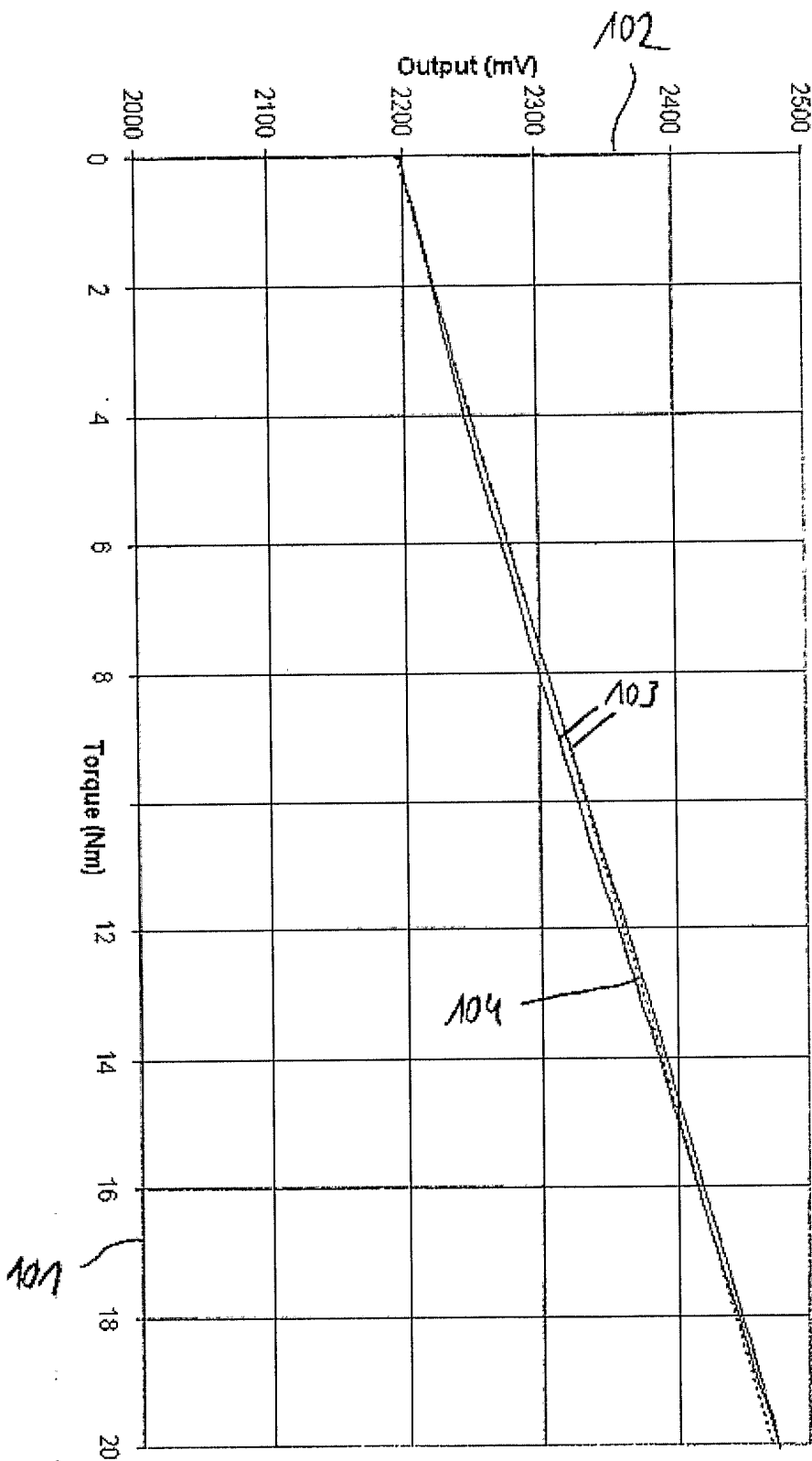
Fig. 6A





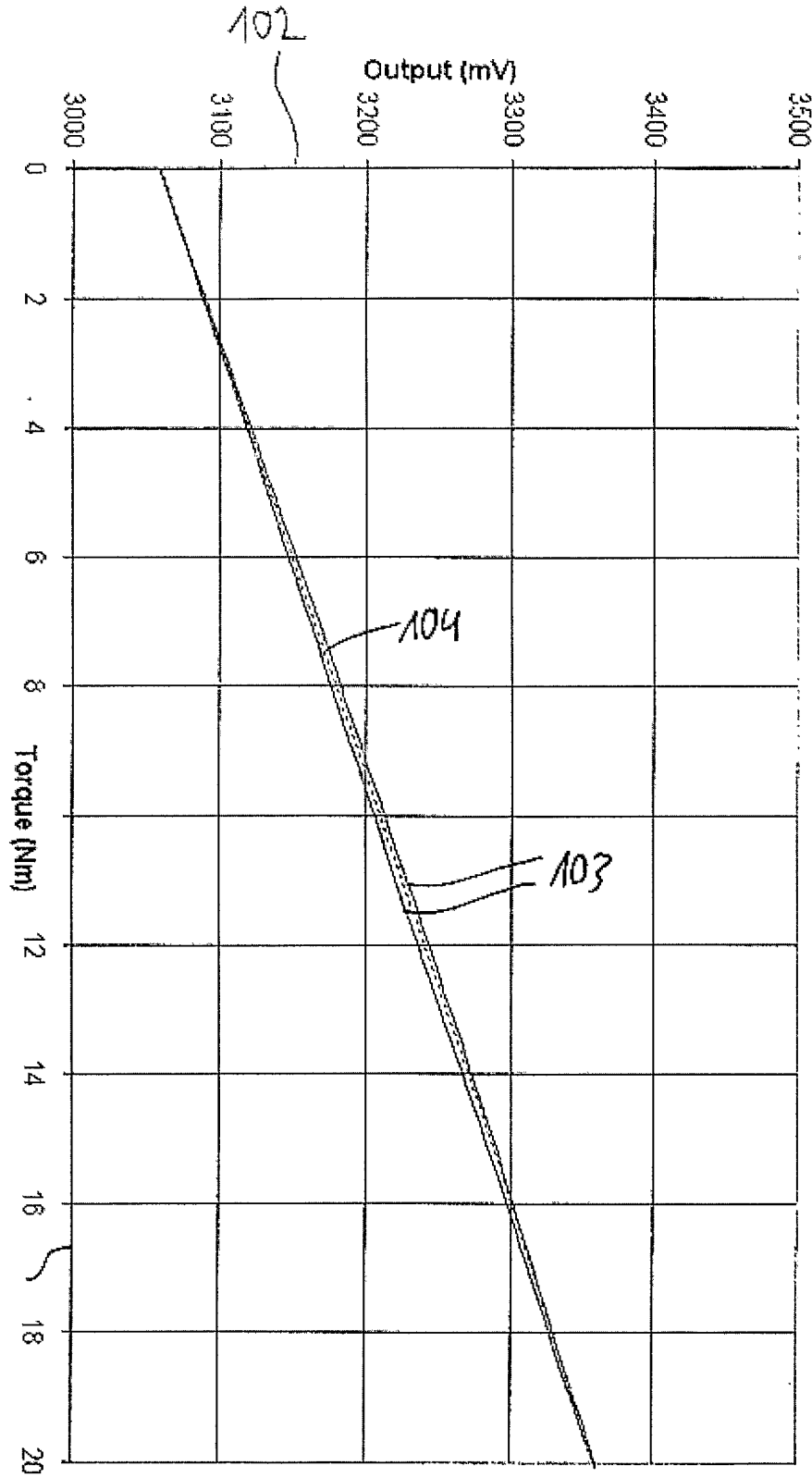
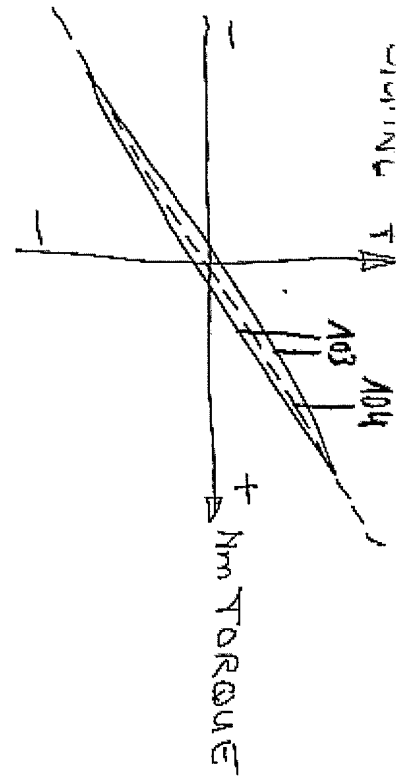
9mm #1c 570A (G=0.4 Hyst. 3.72% 13.8mV/Nm adapter deg.)

Fig. 68D



710

9mm #2c SAPP 550A (G=0,4, Hyst.: 2,59% 15,1mV/Nm adapters degaussed)



101

Fig. 58E

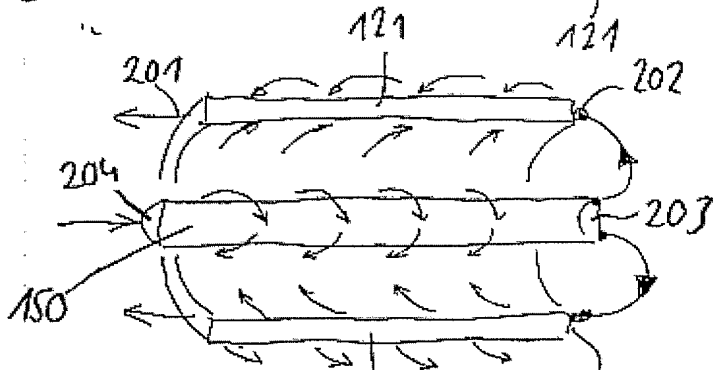
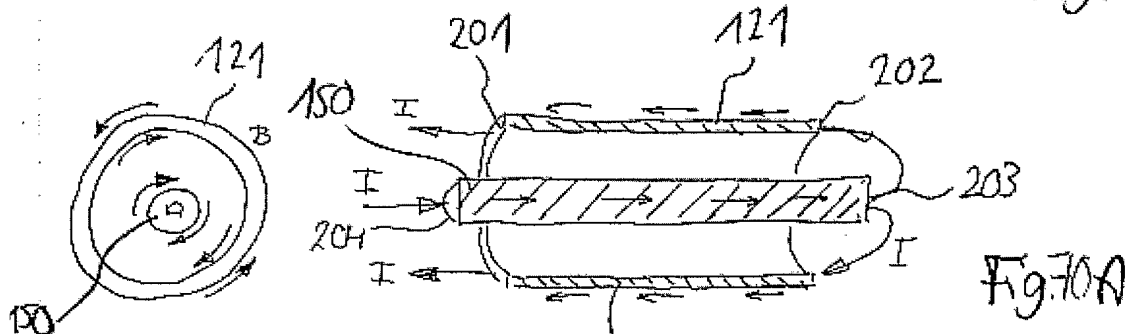
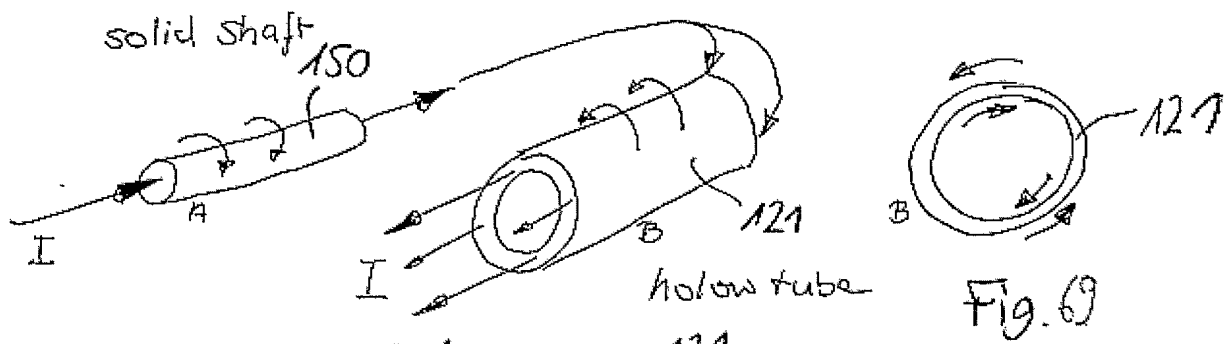


Fig. 70B

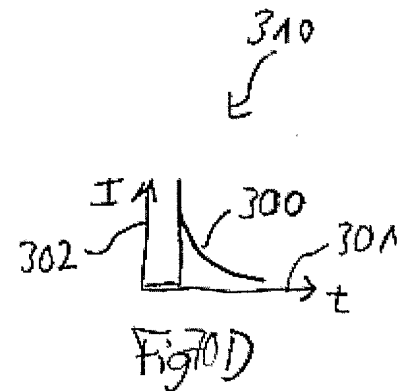


Fig. 70D

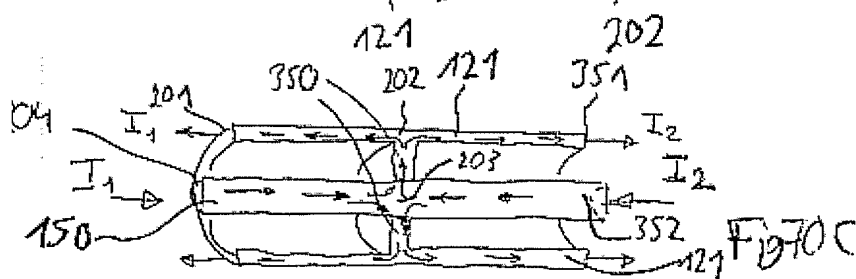
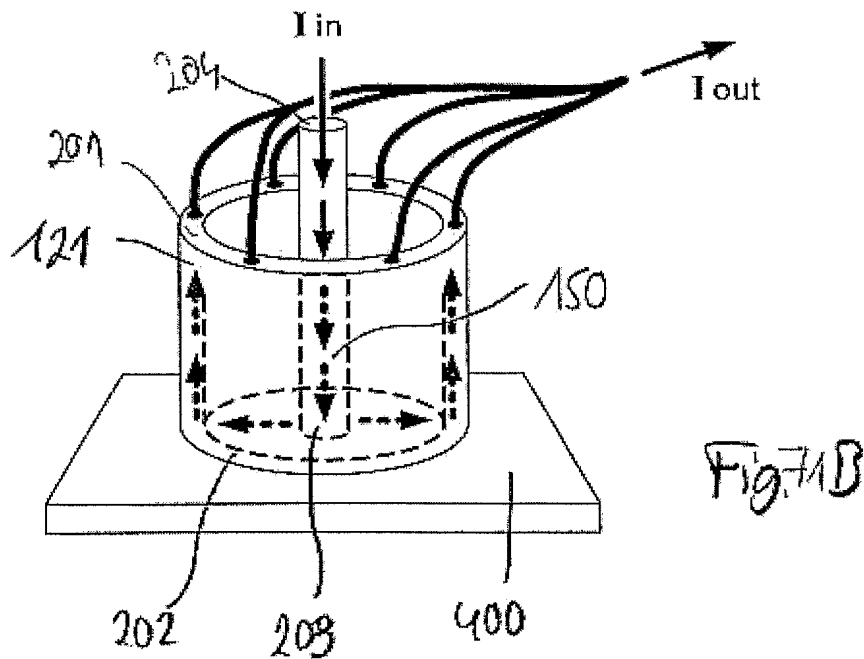
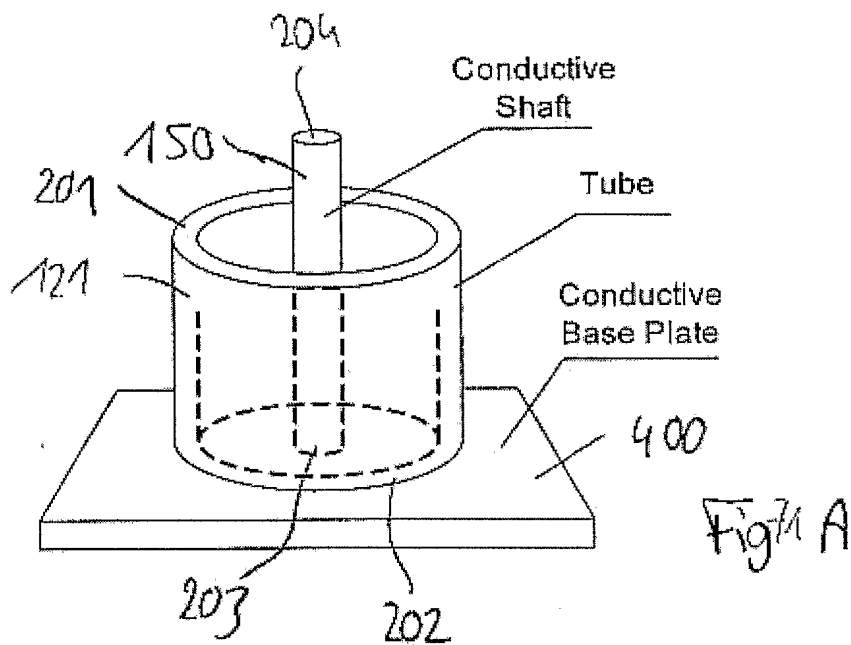
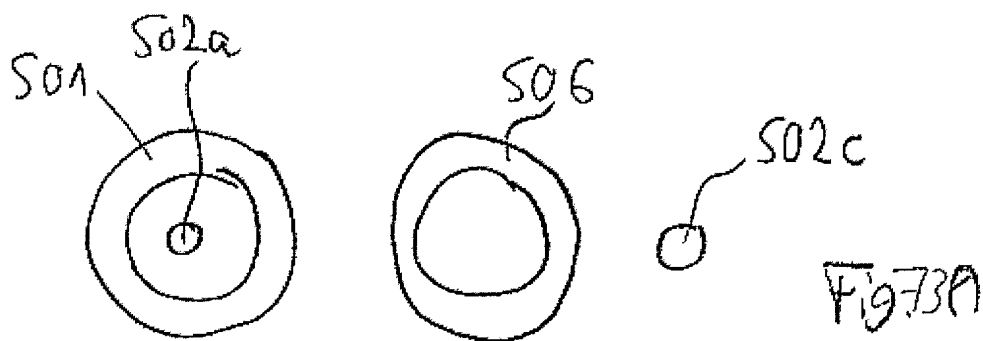
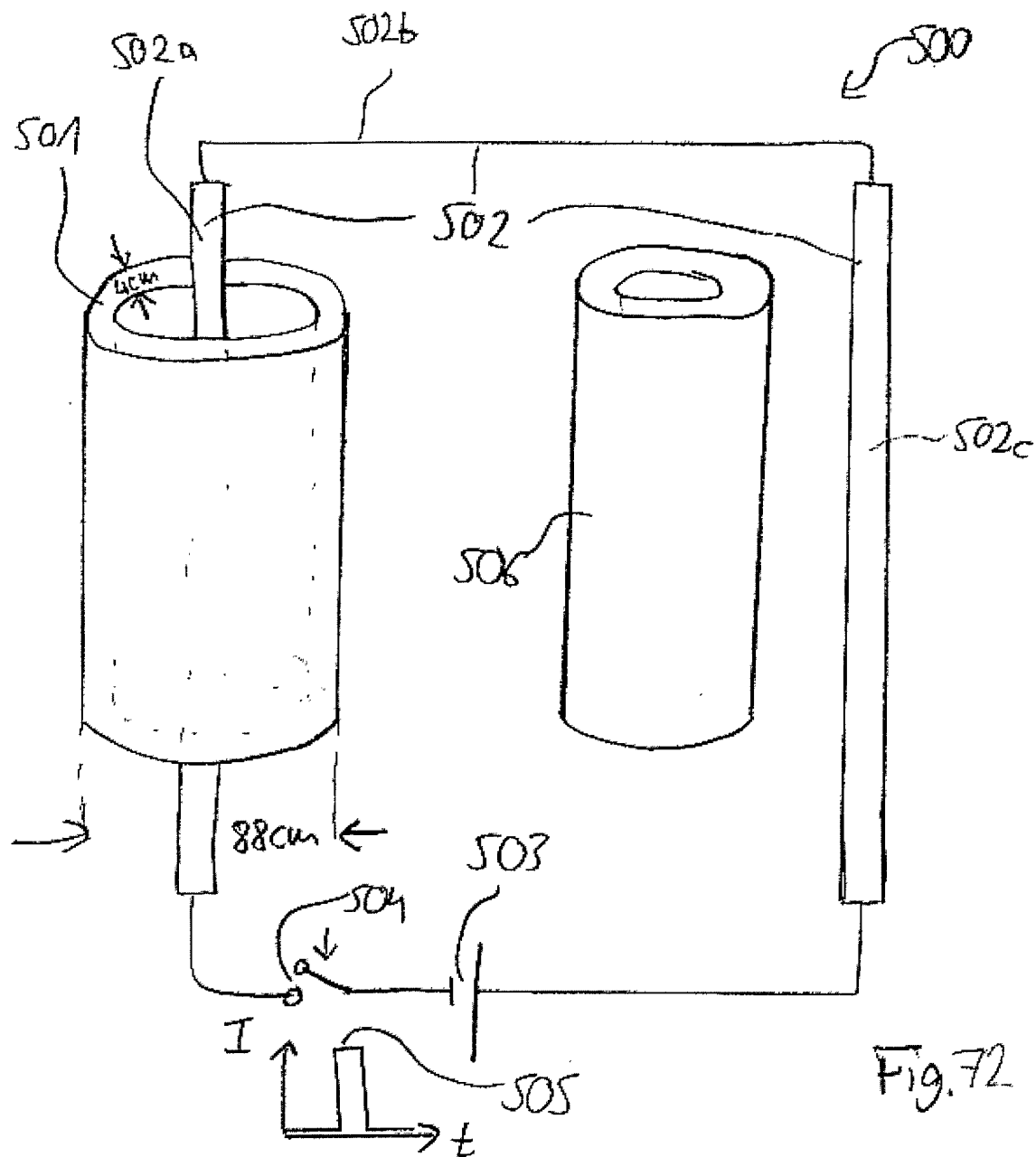
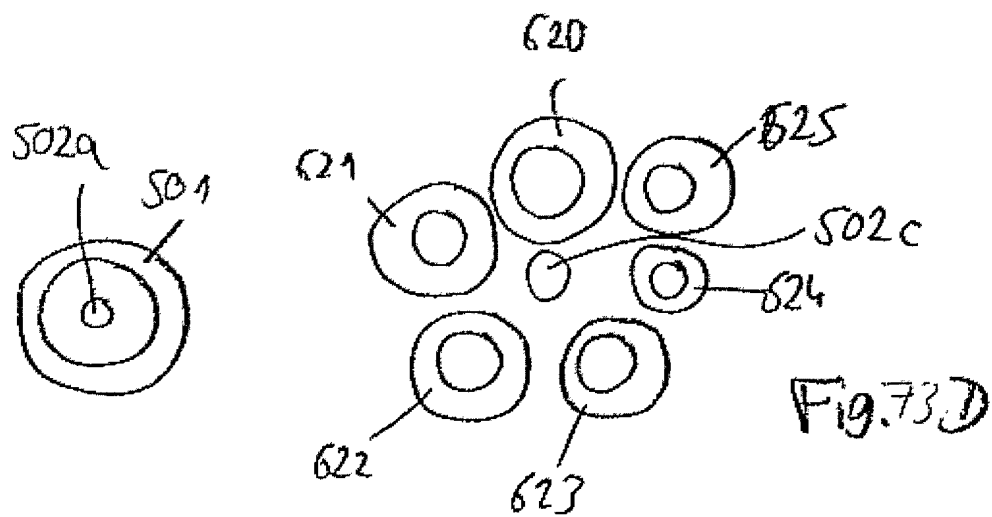
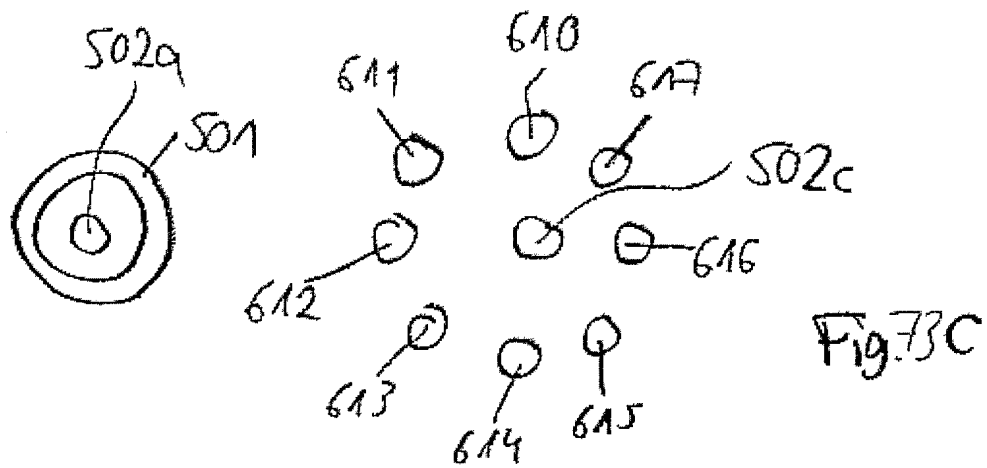
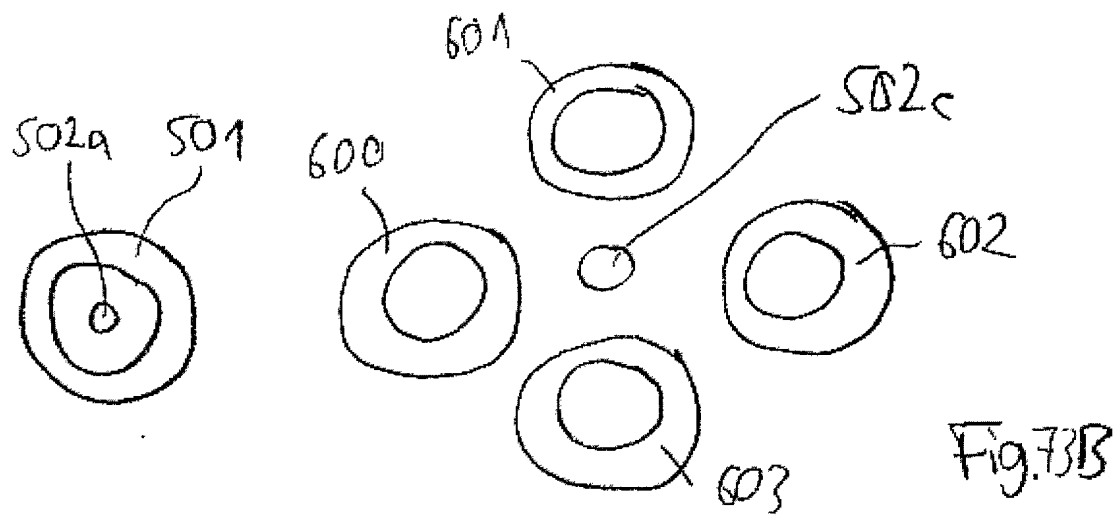
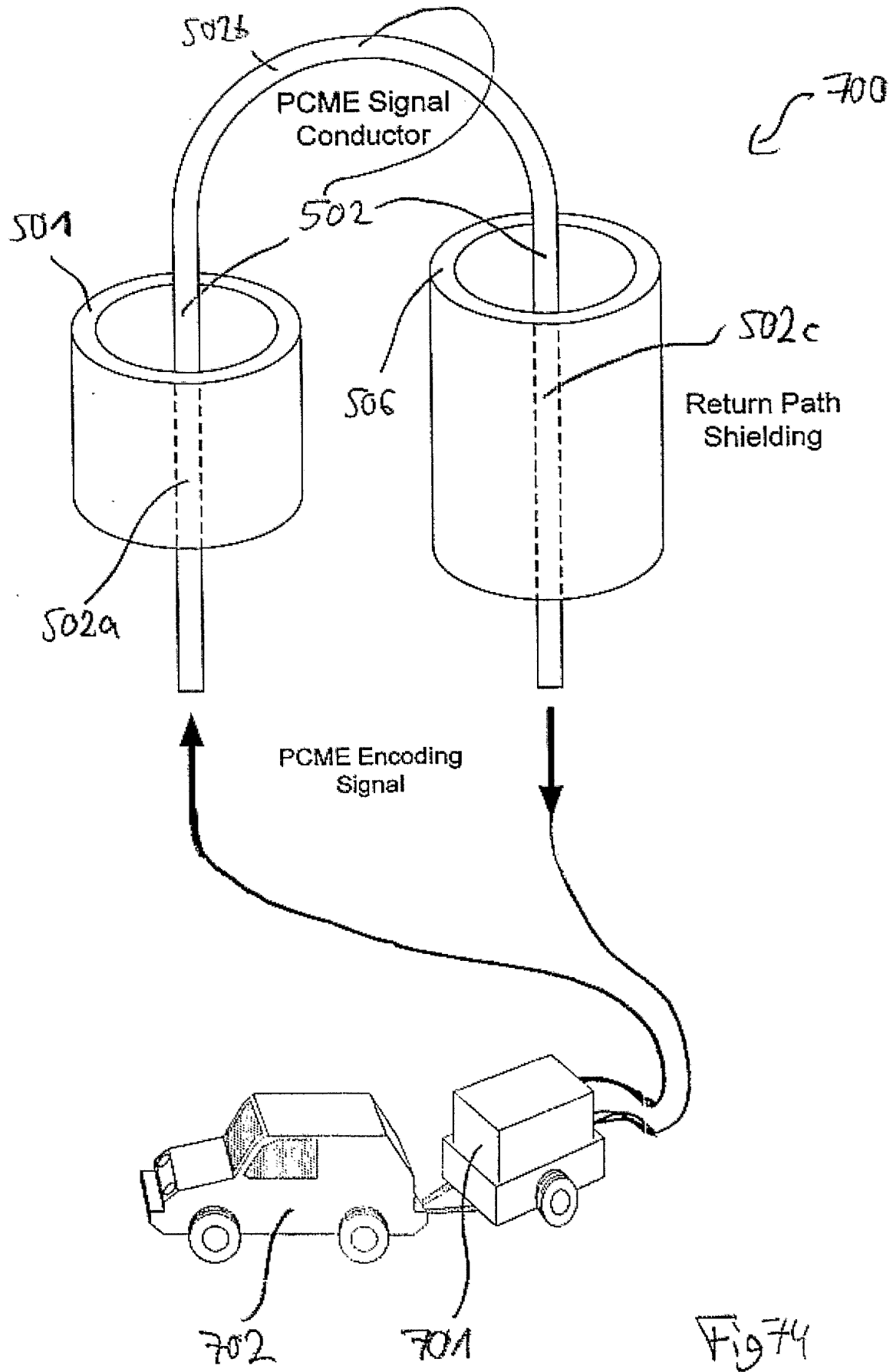


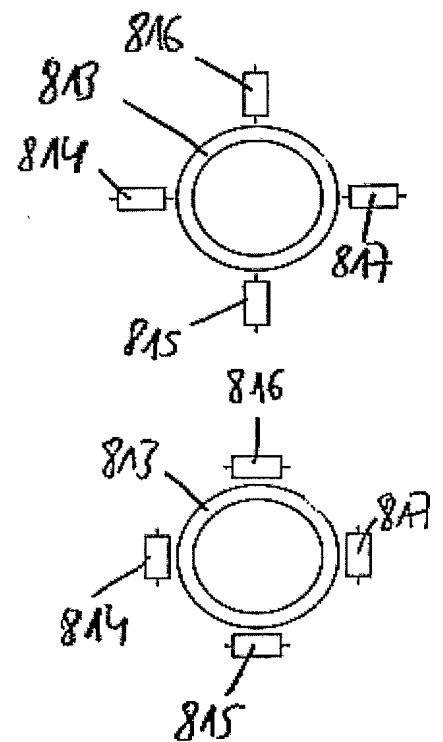
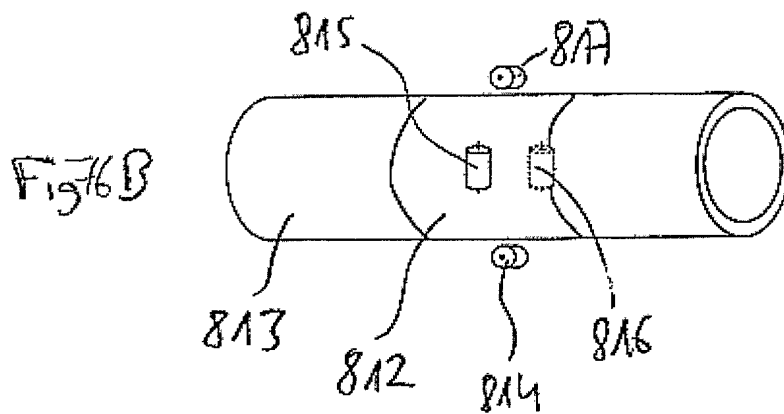
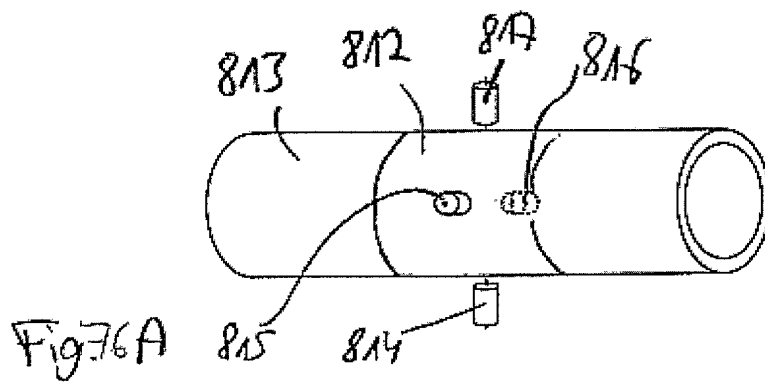
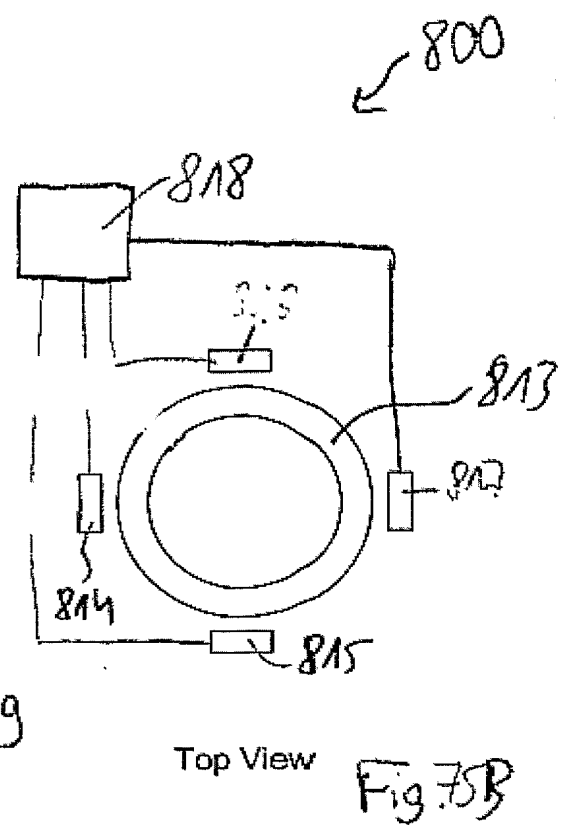
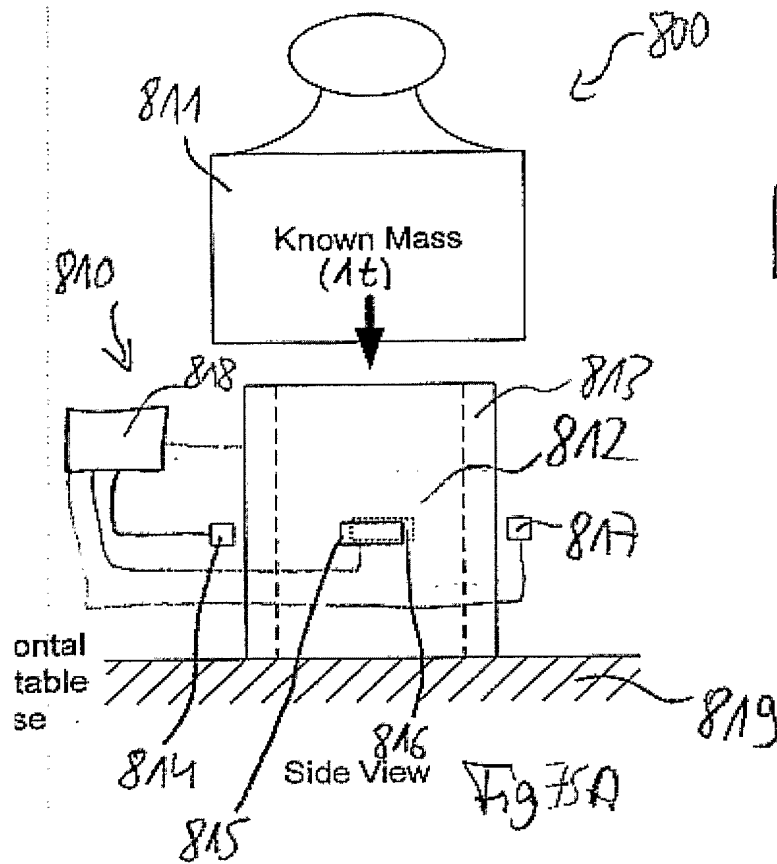
Fig. 70C

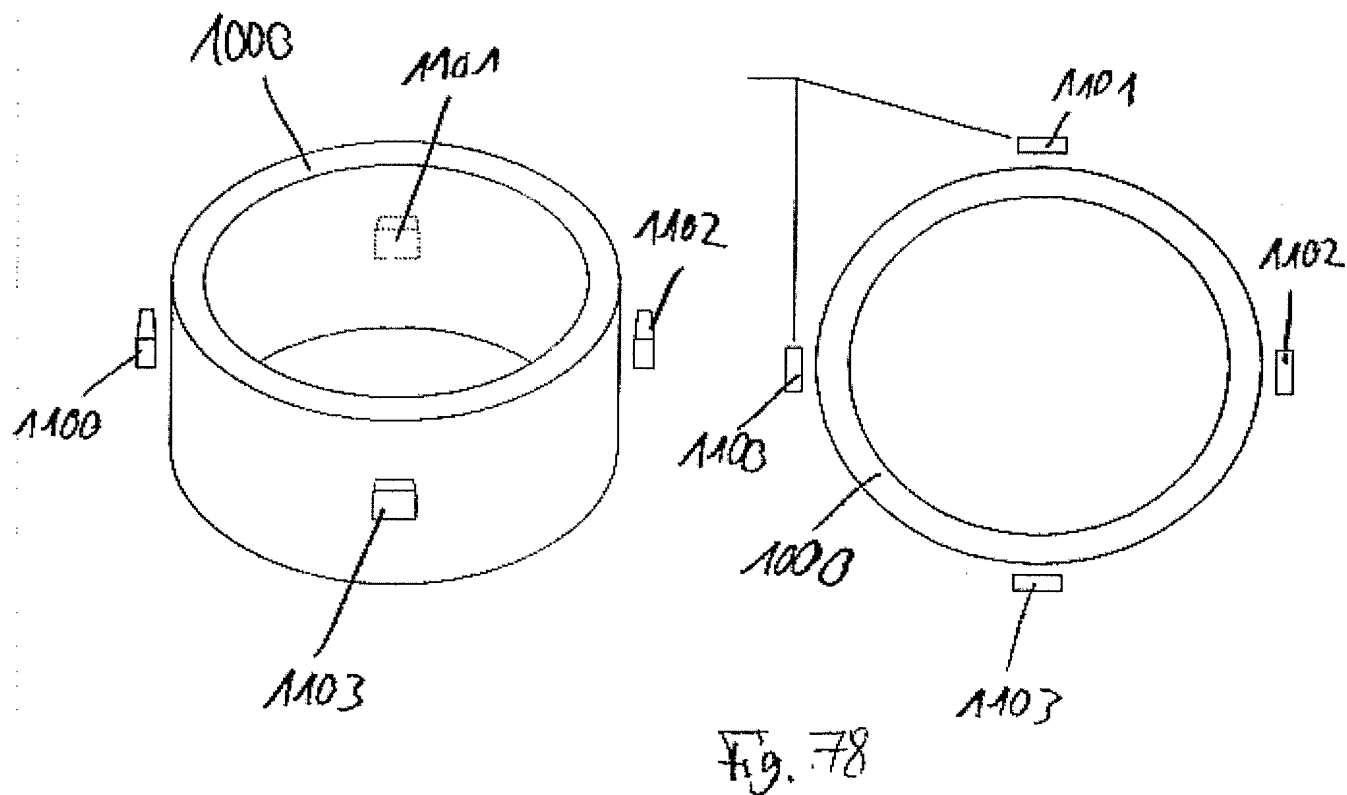
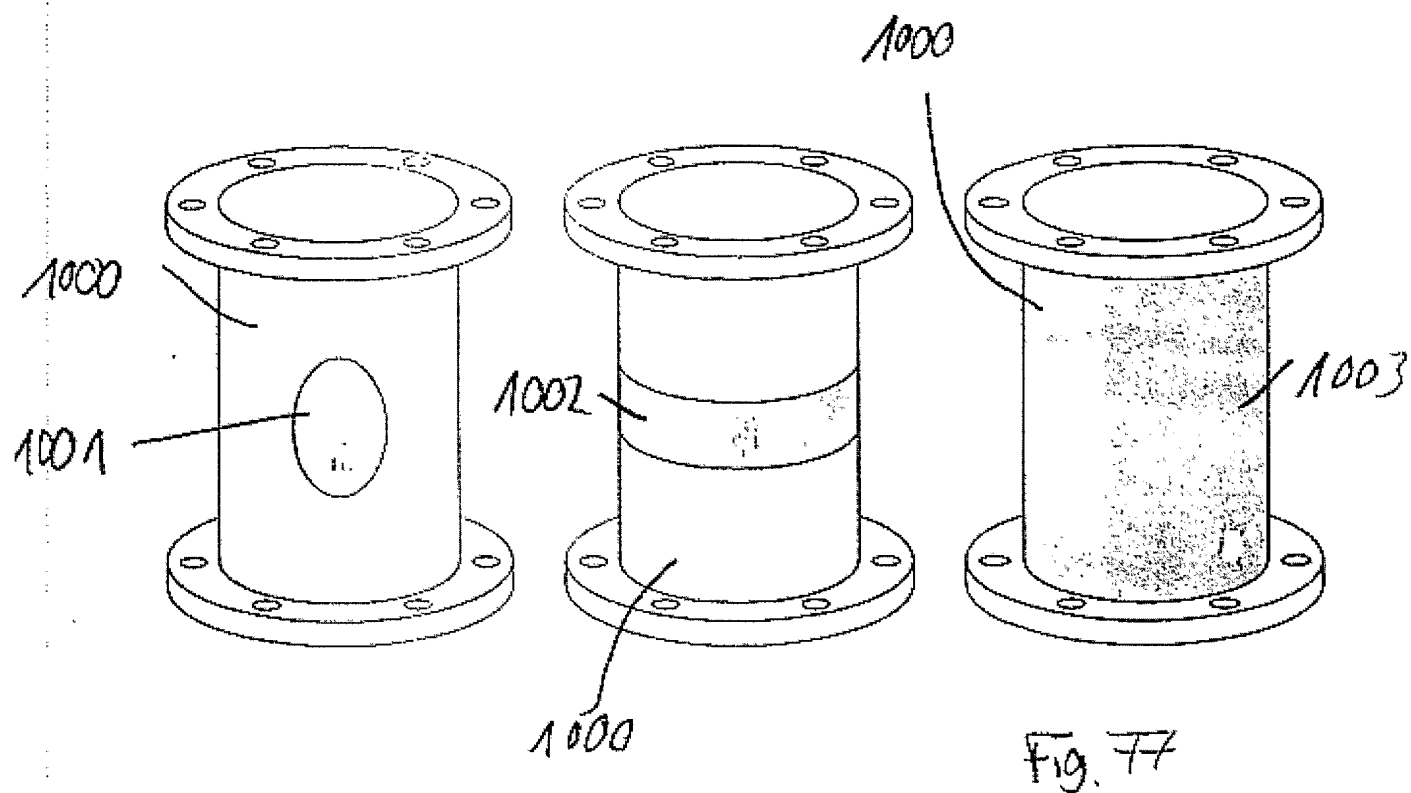












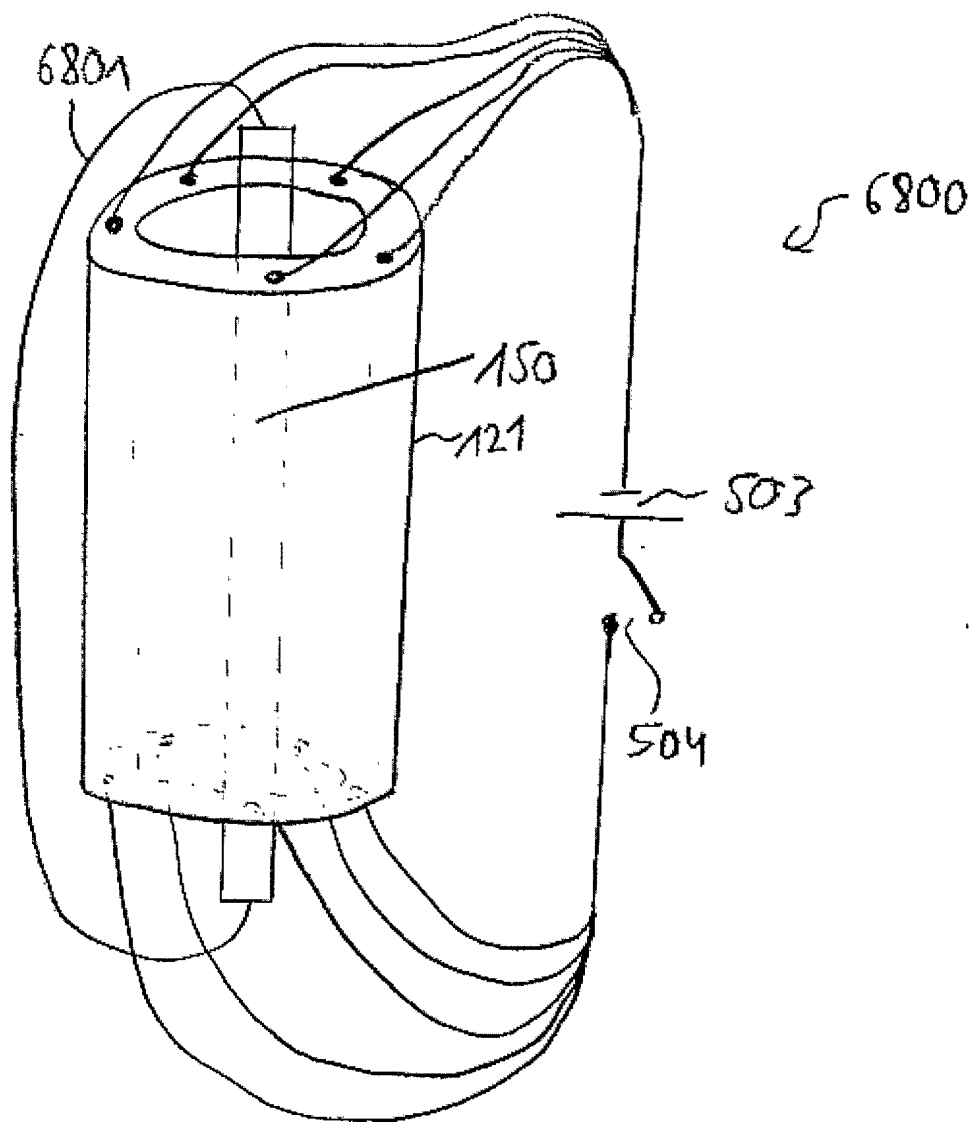


Fig. 79

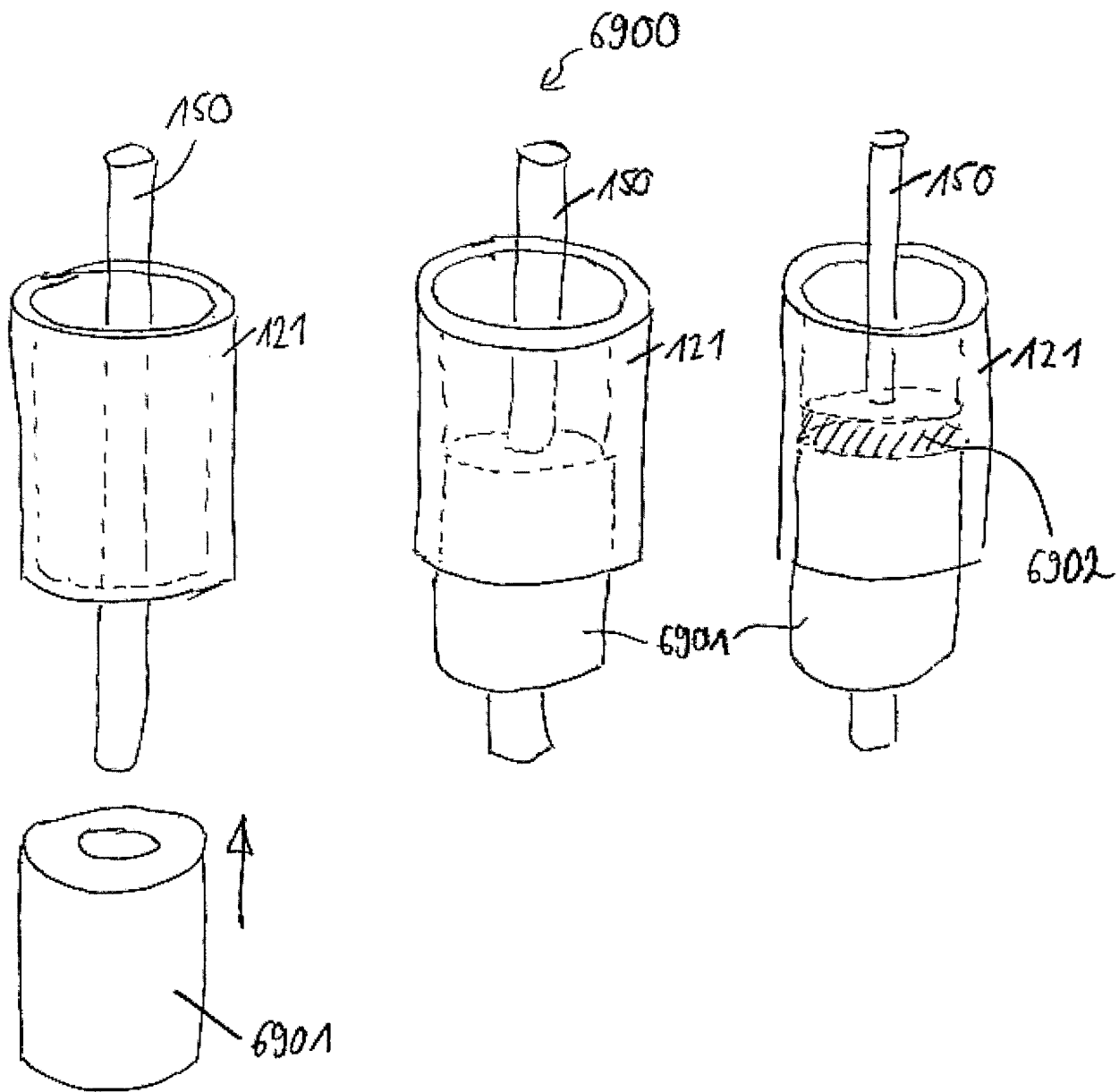


Fig. 80

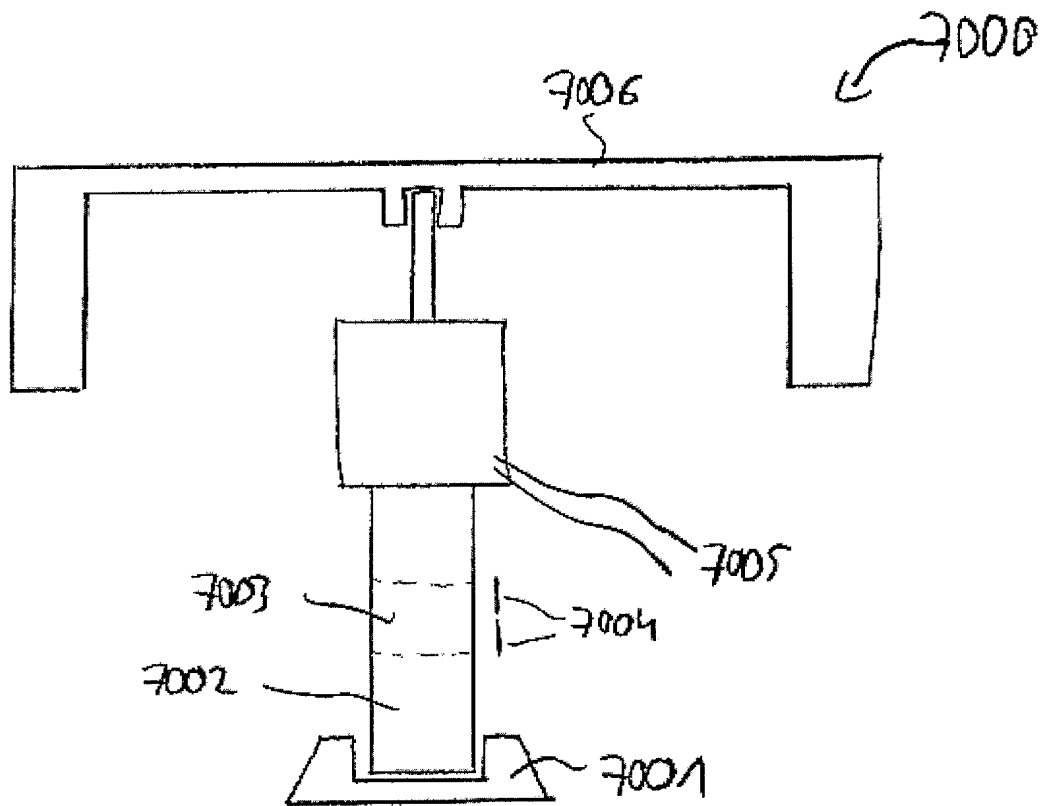


Fig. 81